

Эффекты ненулевого магнитного момента в коллективных осцилляциях нейтрино при взрыве сверхновых

Шустов Павел,
научный руководитель, к.ф.-м.н Харланов Олег
МГУ им. Ломоносова

Москва
2019

Взрыв сверхновой, как источник сверхплотных полей нейтрино :

- Подавляющая часть энергии взрыва уносится в виде нейтрино ($n_\nu = 10^{30} \div 10^{32} \text{ см}^{-3}$)
- Внутри ядра нейтрино термализуется
- Распространение нейтрино имеет характер коллективных осцилляций

Взрыв сверхновой, как источник сверхплотных полей нейтрино :

- Подавляющая часть энергии взрыва уносится в виде нейтрино ($n_\nu = 10^{30} \div 10^{32} \text{ см}^{-3}$)
- Внутри ядра нейтрино термализуется
- Распространение нейтрино имеет характер коллективных осцилляций

Коллективные осцилляции, как способ обнаружить сверхмалые параметры системы:

- Коллективные осцилляции – нелинейный процесс
- Может привести к возникновению неустойчивостей в эволюции спектров

Взрыв сверхновой, как источник сверхплотных полей нейтрино :

- Подавляющая часть энергии взрыва уносится в виде нейтрино ($n_\nu = 10^{30} \div 10^{32} \text{ см}^{-3}$)
- Внутри ядра нейтрино термализуется
- Распространение нейтрино имеет характер коллективных осцилляций

Коллективные осцилляции, как способ обнаружить сверхмалые параметры системы:

- Коллективные осцилляции – нелинейный процесс
- Может привести к возникновению неустойчивостей в эволюции спектров

Основная идея:

Сверхплотная нейтринная среда может потенциально спровоцировать неустойчивости в эволюции нейтринного спектра

$$\mathcal{L}_\nu = \mathcal{L}_{vac} + \mathcal{L}_{med} + \mathcal{L}_{AMM} + \mathcal{L}_{slf}, \quad \nu = \nu^c$$

- \mathcal{L}_{vac} и \mathcal{L}_{med} - стандартные лагранжианы нейтрино в вакууме и в материи
- $\mathcal{L}_{AMM} = -\frac{i}{4} m_{ab} \bar{\nu}_a \sigma_{\mu\nu} F^{\mu\nu} \nu_b$ - взаимодействие нейтрино с магнитным полем
- \mathcal{L}_{slf} - лагранжиан $\nu - \nu$ взаимодействия

$$\mathcal{L}_{EW} = -\frac{G_F}{\sqrt{2}} (\bar{\nu}_a \gamma_L^\mu \nu_a)^2$$

$$\mathcal{L}_s = -\frac{g}{\sqrt{2}} (\bar{\nu}_a \nu_a)^2$$

$$\mathcal{L}_p = -\frac{g}{\sqrt{2}} (\bar{\nu}_a \gamma_5 \nu_a)^2$$

Стандартное электрослабое взаимодействие

Майорановские нейтрино

Нестандартное нейтринное взаимодействие

$$\mathcal{L}_\nu = \mathcal{L}_{vac} + \mathcal{L}_{med} + \mathcal{L}_{AMM} + \mathcal{L}_{slf}$$

- Описание в терминах матрицы плотности и гамильтониана

$$i \frac{\partial \rho}{\partial t} = [H, \rho], \quad \rho_{AB}(p) = \langle \Phi | \hat{a}_B^\dagger \hat{a}_A | \Phi \rangle$$

- Приближение рассеяние вперед - пренебрегаем процессами с изменением импульса нейтрино
- Основная идея расчета вклада коллективных осцилляций:

$$[H, \rho] \sim \langle [:(\bar{\nu}_c \gamma^\mu \nu_c)(\bar{\nu}_d \gamma^\mu \nu_d):, \hat{a}_B^\dagger \hat{a}_A] \rangle, \quad \leftarrow \quad \nu_A \sim \hat{a}_A u e^{-ipx} + \hat{a}_A^\dagger u^c e^{ipx}$$

$$[H, \rho] \sim \langle : \phi A \chi \cdot \psi A \omega : \rangle, \quad \text{где } \{\phi, \chi, \psi, \omega\} \sim \{\hat{a}, \hat{a}^\dagger\}, \quad A = \underbrace{\{\gamma^\mu \gamma_5, 1, \gamma_5\}}_{\substack{\text{EW} \\ \text{взаимодействие}}} \quad \underbrace{\gamma_5}_{\text{S}} \quad \underbrace{1}_{\text{P}}$$

Используя теорему Вика и тождество Фирца:

$$[H, \rho] \sim f(\langle \hat{a}_B^\dagger \hat{a}_A \rangle) = f(\rho_{AB})$$

$$\text{Уравнение эволюции: } i \frac{\partial \rho}{\partial t} = [h, \rho]$$

$$h(\mathbf{p}) = \begin{pmatrix} \frac{\Delta m^2}{4|\mathbf{p}|} + G_F \sqrt{2}V & B_{\perp} m \\ -B_{\perp} m & \frac{\Delta m^2}{4|\mathbf{p}|} - G_F \sqrt{2}V \end{pmatrix} + h_{slf}(\mathbf{p}) \quad \rho_0 = \begin{pmatrix} \nu_{e,x} & 0 \\ 0 & \bar{\nu}_{e,x} \end{pmatrix}$$

$$h_{slf}(\mathbf{p}) = G_F \sqrt{2} n_{\nu}(r) \int d\mathbf{p}' (1 - \mathbf{n}' \mathbf{n}) \underbrace{[G \cdot \text{tr}(\rho G) + \mathcal{P}^{\ddot{\cdot}}]}_{\text{Для блочно-диагональности}} + \underbrace{\kappa(\mathcal{P}^T)^{\ddot{\cdot}}}_{\text{Для взаимодействия}}$$

$$\begin{pmatrix} A & B \\ C & D \end{pmatrix}^{\ddot{\cdot}} = \begin{pmatrix} A & 0 \\ 0 & D \end{pmatrix};$$

$$\begin{pmatrix} A & B \\ C & D \end{pmatrix}^{\ddot{\cdot}} = \begin{pmatrix} 0 & B \\ C & 0 \end{pmatrix};$$

Из стандартного EW
гамильтониана
(оставляет гамильтониан
блочно-диагональным)

Добавка от s+p
взаимодействия
(вносит блочно-недиаг.
члены)

При $\mu = 0$, вклада от $\mathcal{P}^{\ddot{\cdot}}$ нет!

$$\mathcal{P} = \rho - \rho^{cT} = \begin{pmatrix} A - D^T & B - B^T \\ C - C^T & D - A^T \end{pmatrix} \quad G = \begin{pmatrix} 1 & 0 \\ 0 & -1 \end{pmatrix} \quad \kappa = \frac{2\sqrt{2}g}{G_F}$$

$$h_{int}(\mathbf{p}) = G_F \sqrt{2} (\hbar c)^3 n_\nu(r) \int d\mathbf{p}' (1 - \mathbf{n}' \mathbf{n}) [G \cdot \text{tr}(\rho G) + \mathbf{p}'^\cdot + \mathbf{p}'^\cdot]$$

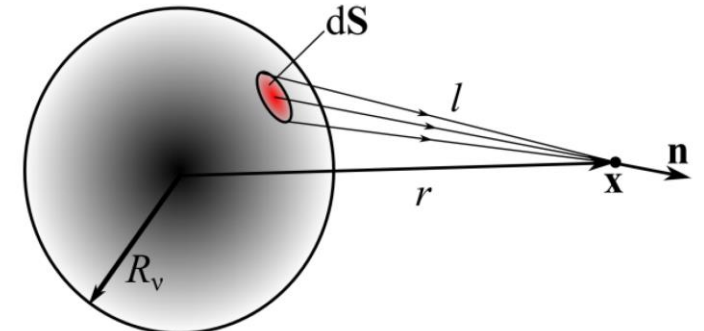
Интеграл в каждой точке по всем направлениям с которых приходя нейтрино



Огромная численная сложность



Упрощение до одноугловой схемы



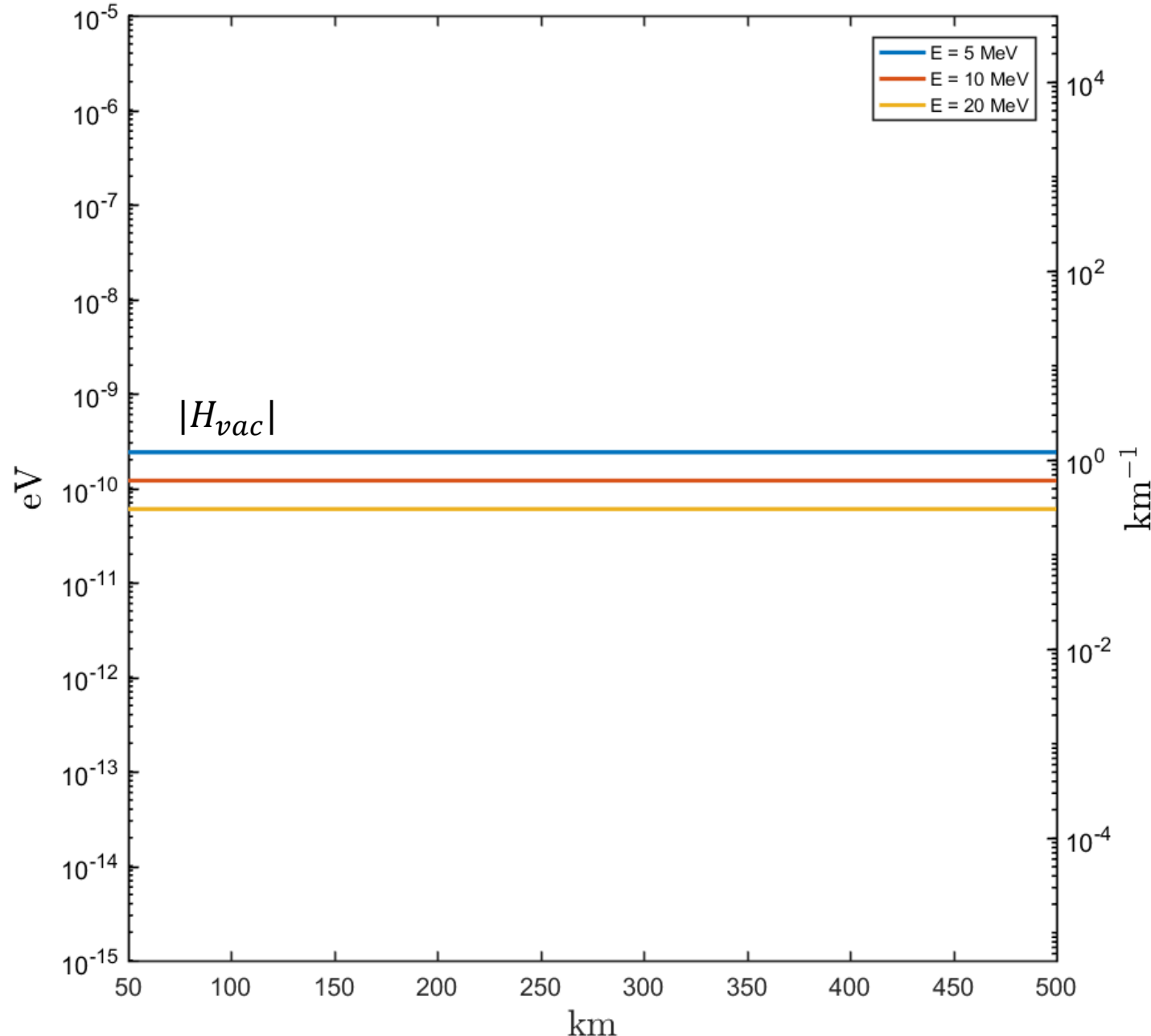
$$h_{int}(\mathbf{p}) = G_F \sqrt{2} (\hbar c)^3 [n_\nu(r) \mathcal{D}(r)] \int_0^\infty dE [G \cdot \text{tr}(\rho G) + \mathbf{p}'^\cdot + \mathbf{p}'^\cdot]$$

$\mathcal{D}(r)$ – множитель, эффективно учитывающий падение плотности нейтрино с расстоянием и нейтрино приходящие с разных углов

Физическая адекватность метода подтверждена в сравнении с двухугловой схемой в работе Huaiyu Duan, et al., *Annual Review of Nuclear and Particle Science*, Vol. 60:569-594, 2010

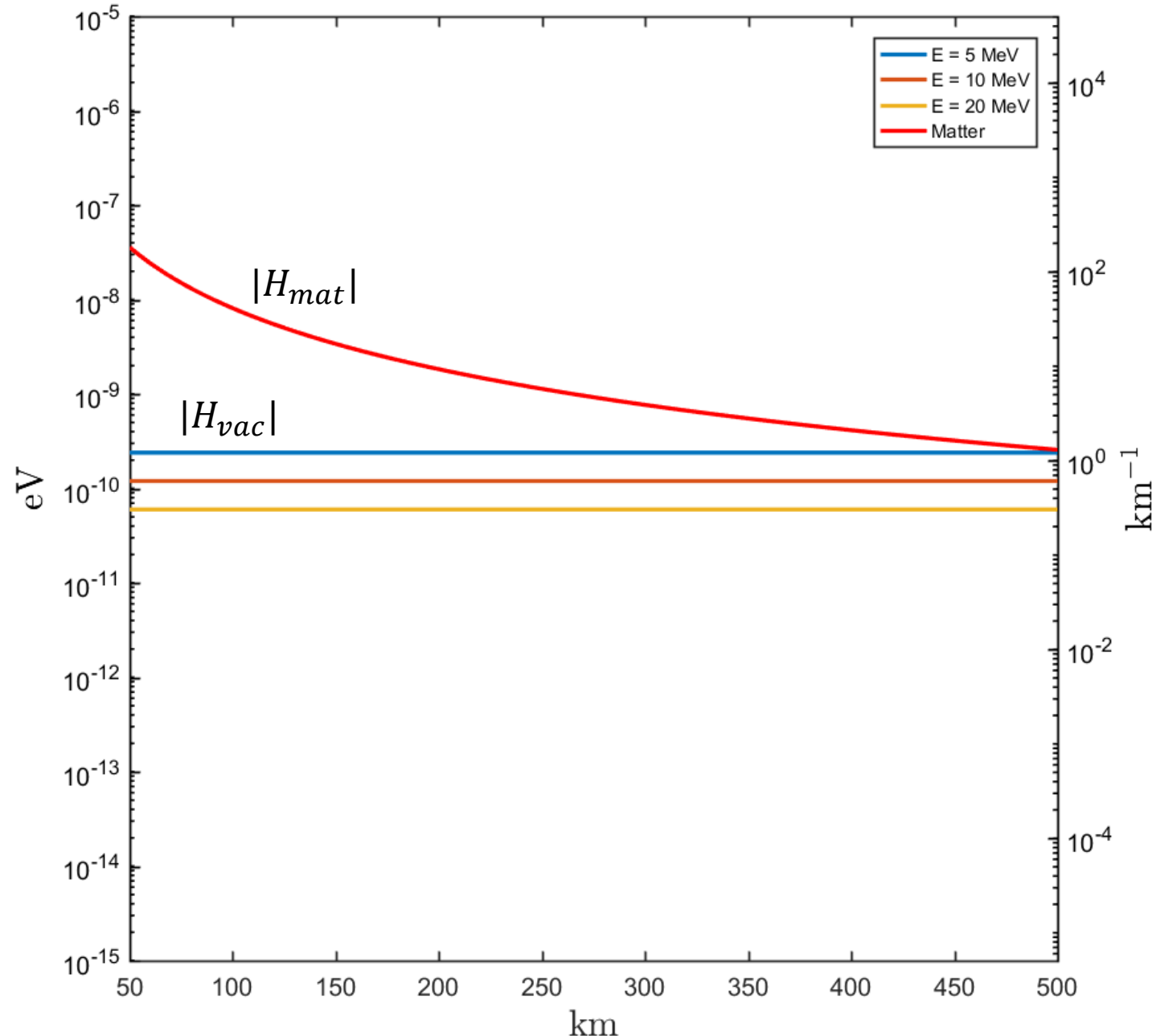
Характерные величины разных вкладов в эффективный гамильтониан :

- Самодействие $\propto r^{-4}$
- Материя $\propto r^{-2}$
- Расчет до MSW-резонанса
- Эффективный потенциал магнитного поля μB существенно мал на всех расстояниях, тем не менее может спровоцировать рост неустойчивости



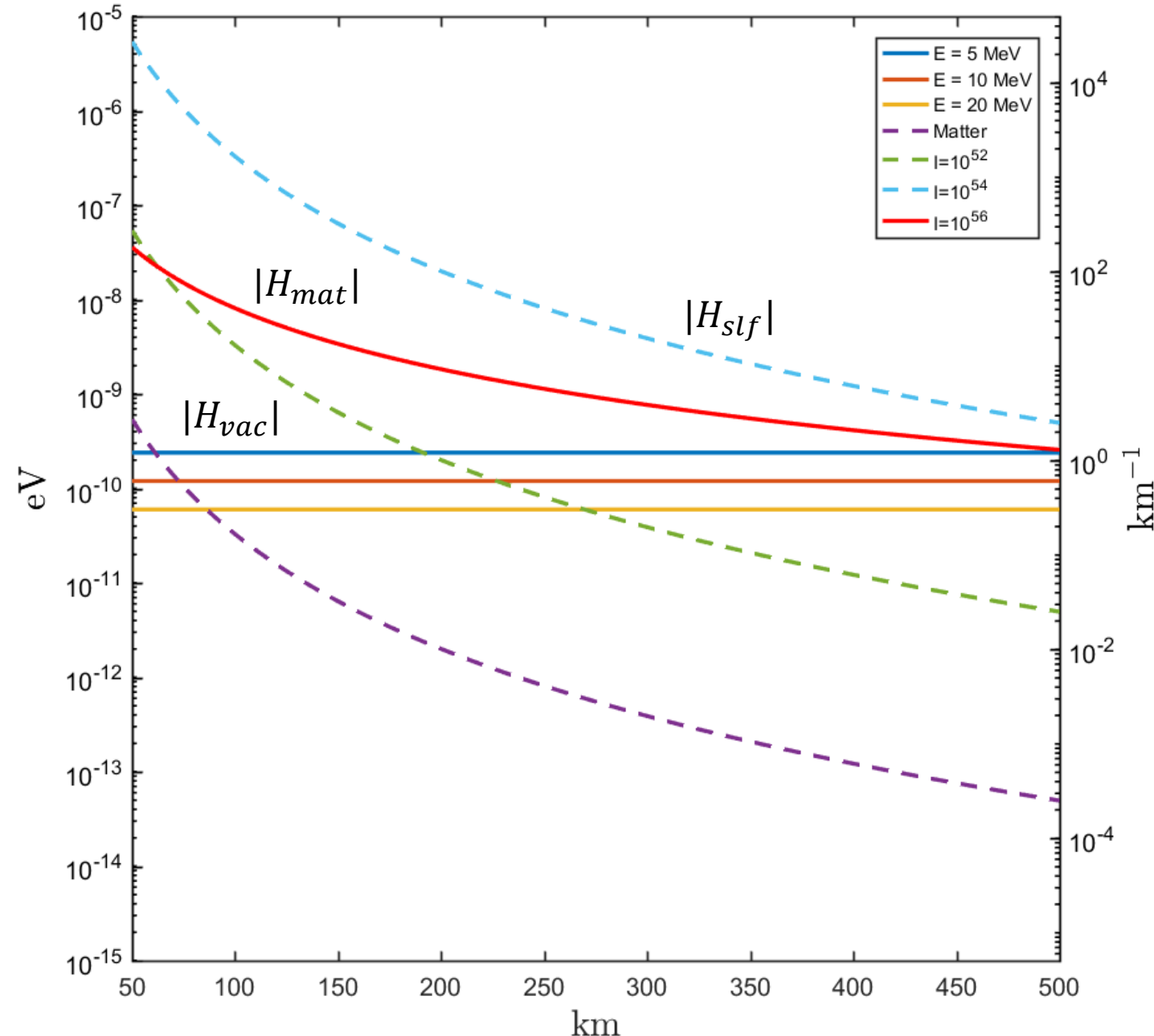
Характерные величины разных вкладов в эффективный гамильтониан :

- Самодействие $\propto r^{-4}$
- Материя $\propto r^{-2}$
- Расчет до MSW-резонанса
- Эффективный потенциал магнитного поля μB существенно мал на всех расстояниях, тем не менее может спровоцировать рост неустойчивости



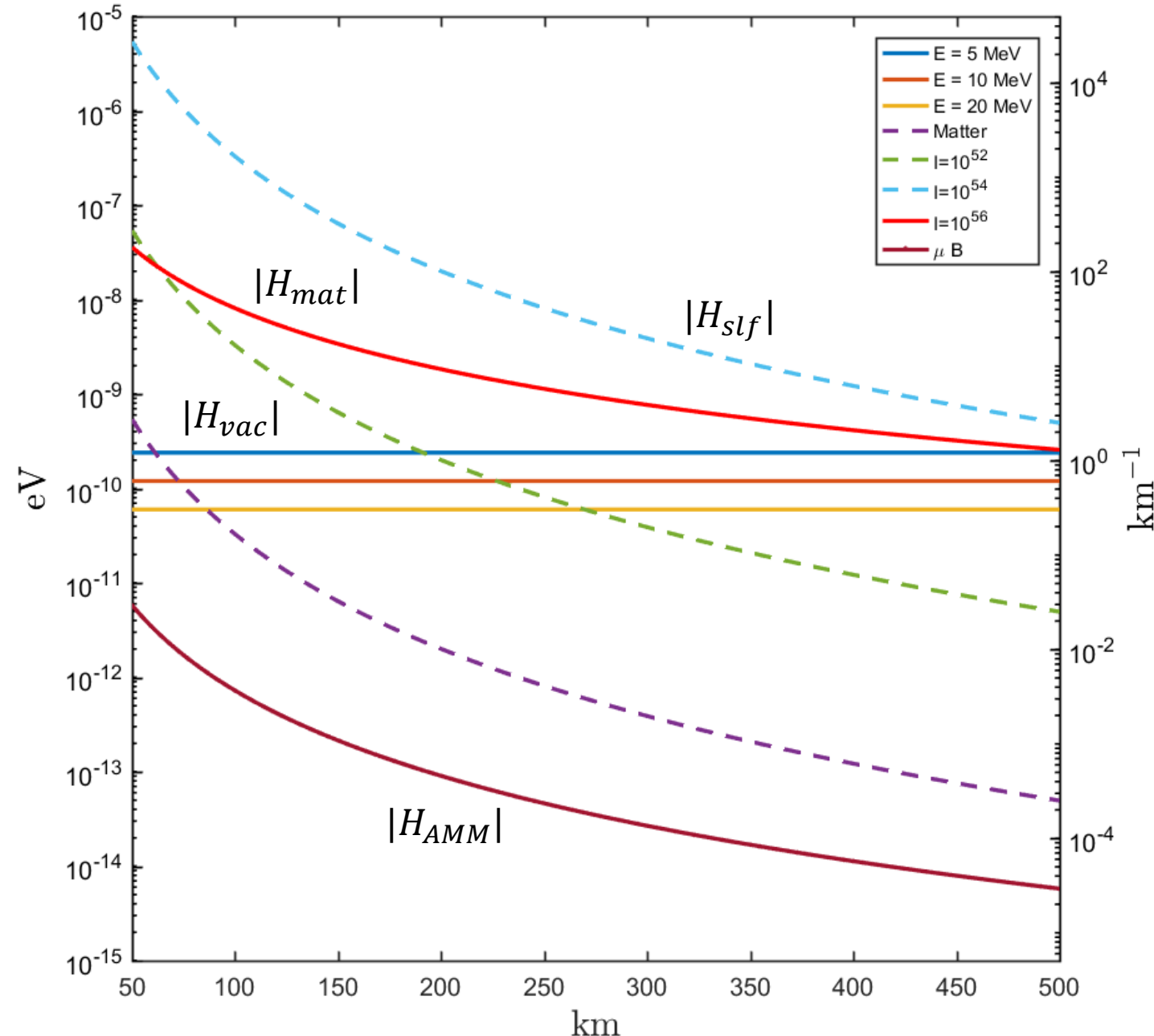
Характерные величины разных вкладов в эффективный гамильтониан :

- Самодействие $\propto r^{-4}$
- Материя $\propto r^{-2}$
- Расчет до MSW-резонанса
- Эффективный потенциал магнитного поля μB существенно мал на всех расстояниях, тем не менее может спровоцировать рост неустойчивости



Характерные величины разных вкладов в эффективный гамильтониан :

- Самодействие $\propto r^{-4}$
- Материя $\propto r^{-2}$
- Расчет до MSW-резонанса
- Эффективный потенциал магнитного поля μB существенно мал на всех расстояниях, тем не менее может спровоцировать рост неустойчивости



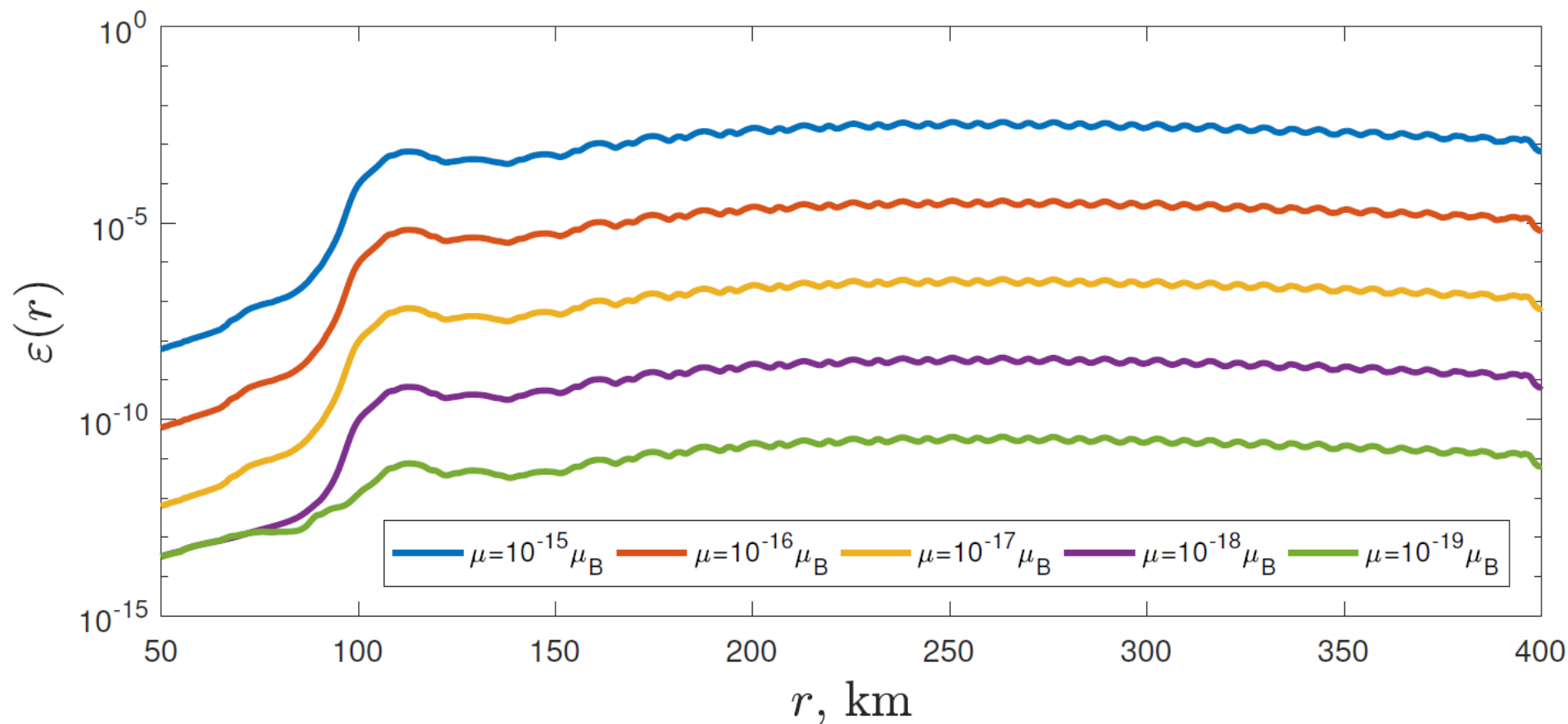
Модель:

Одноугловая схема с эффективным $\nu\nu$ взаимодействием

- Протонейтронная звезда:
 - Радиус нейтриносферы $R_{NS} = 50 \text{ km}$
 - Светимость $10^{52} - 10^{56} \text{ sec}^{-1}$
 - Дипольное магнитное поле $B \sim 10^{12} \text{ Gs}$ при R_{NS}
 - Профиль плотностей материи $n_{e,n,p}(r)$ и нейтрино $n_\nu(r)$ взят из M. T. Keil at al.
 - Начальное распределение задано при $r = R_{NS}$
- Нейтрино:
 - Два флейвора: $\nu_e, \bar{\nu}_e, \nu_x, \bar{\nu}_x$
 - Две иерархии NH, IH
 - Магнитный момент: $\mu_{12} \equiv \mu = 10^{-19} \div 10^{-15} \mu_B$
 - $\theta = 9^\circ, \Delta m^2 = 2.4 \cdot 10^{-3} \text{ eV}^2$

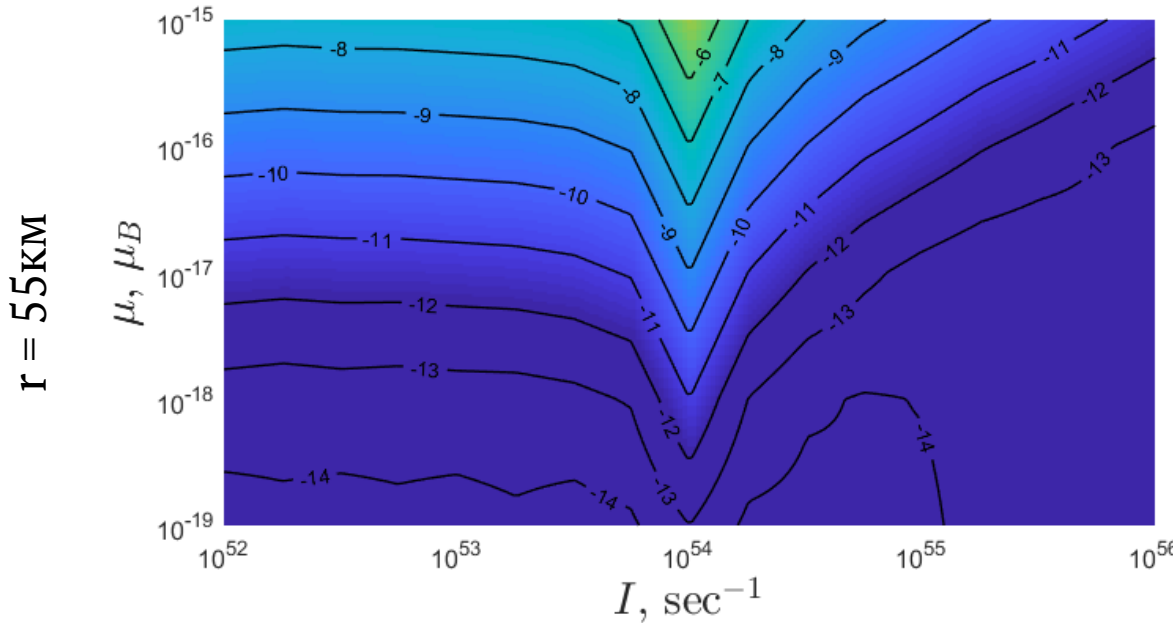
Способ оценки эффекта ненулевого магнитного момента

$$\varepsilon(r) = \frac{1}{4} \frac{\sum_f \int |s_f^{(\mu)}(E; r) - s_f^{(0)}(E; r)| dE}{\sum_f \int |s_f^{(0)}(E; r)| dE}, \quad f = e, x, \bar{e}, \bar{x},$$

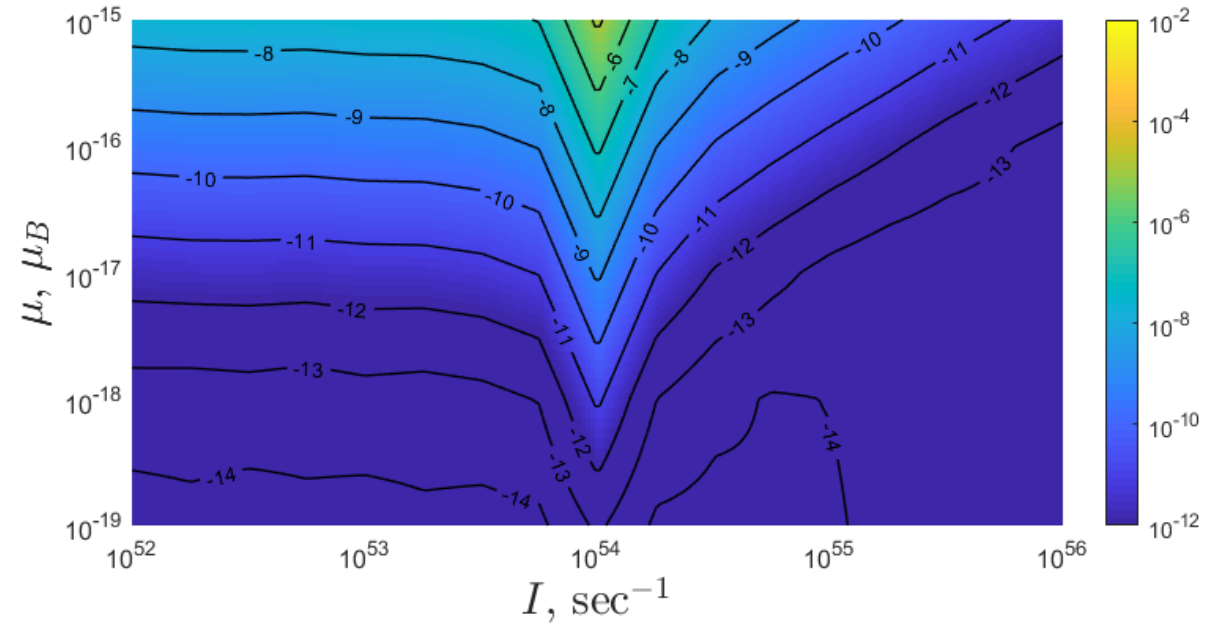


\mathcal{L}_{EW}

Нормальная иерархия

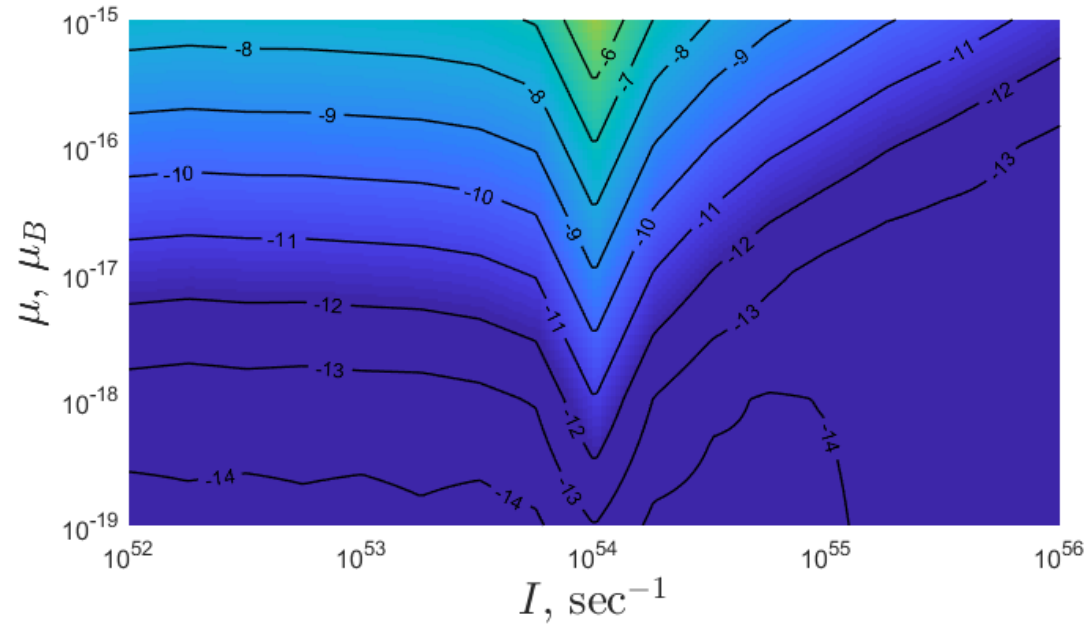


Обратная иерархия

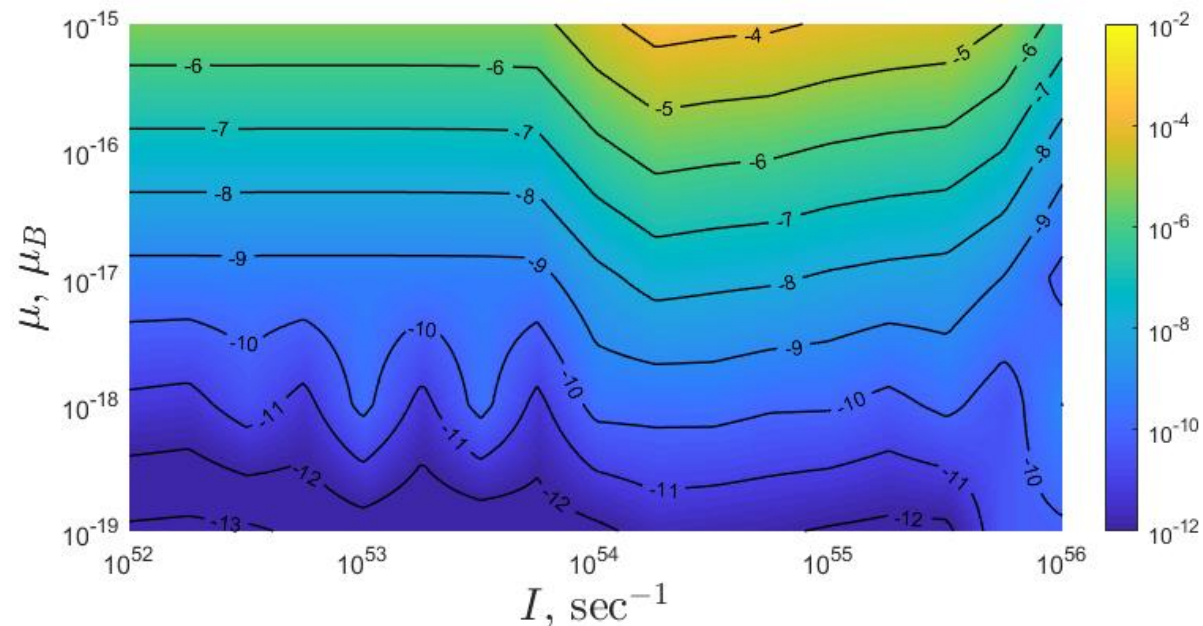
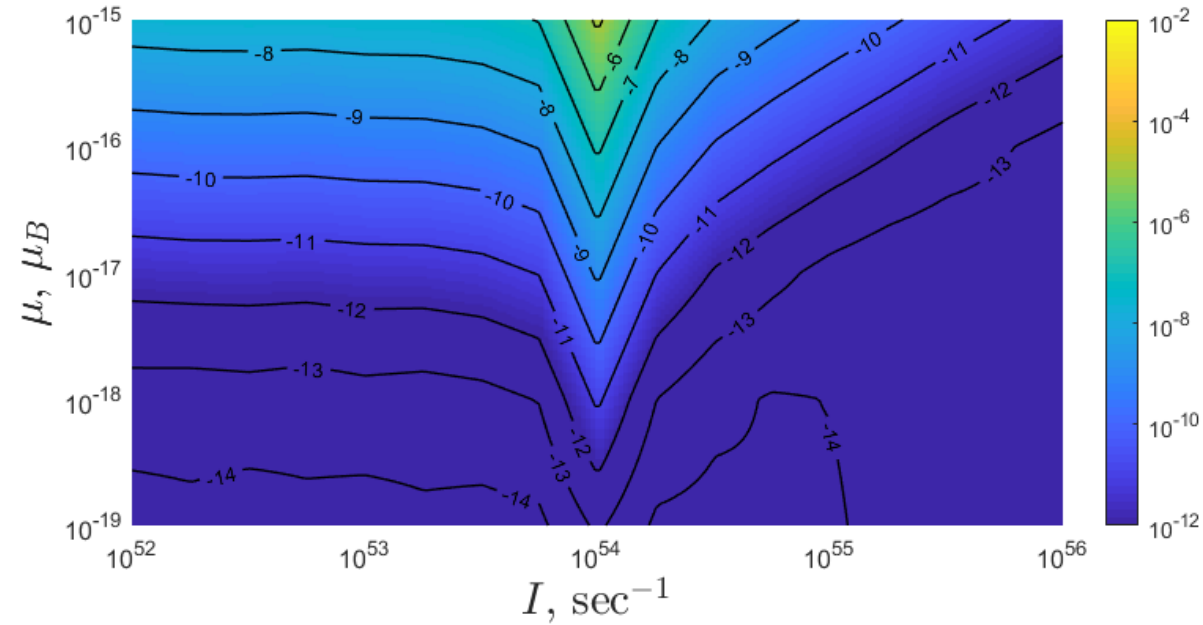
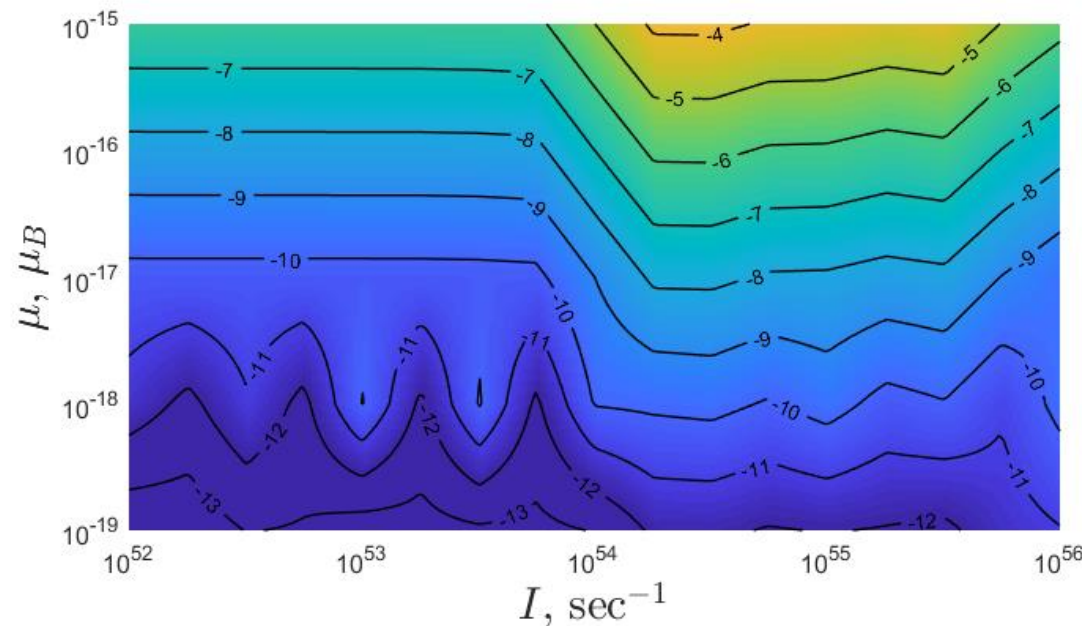
Стандартная модель \mathcal{L}_{EW}

\mathcal{L}_{EW}

Нормальная иерархия

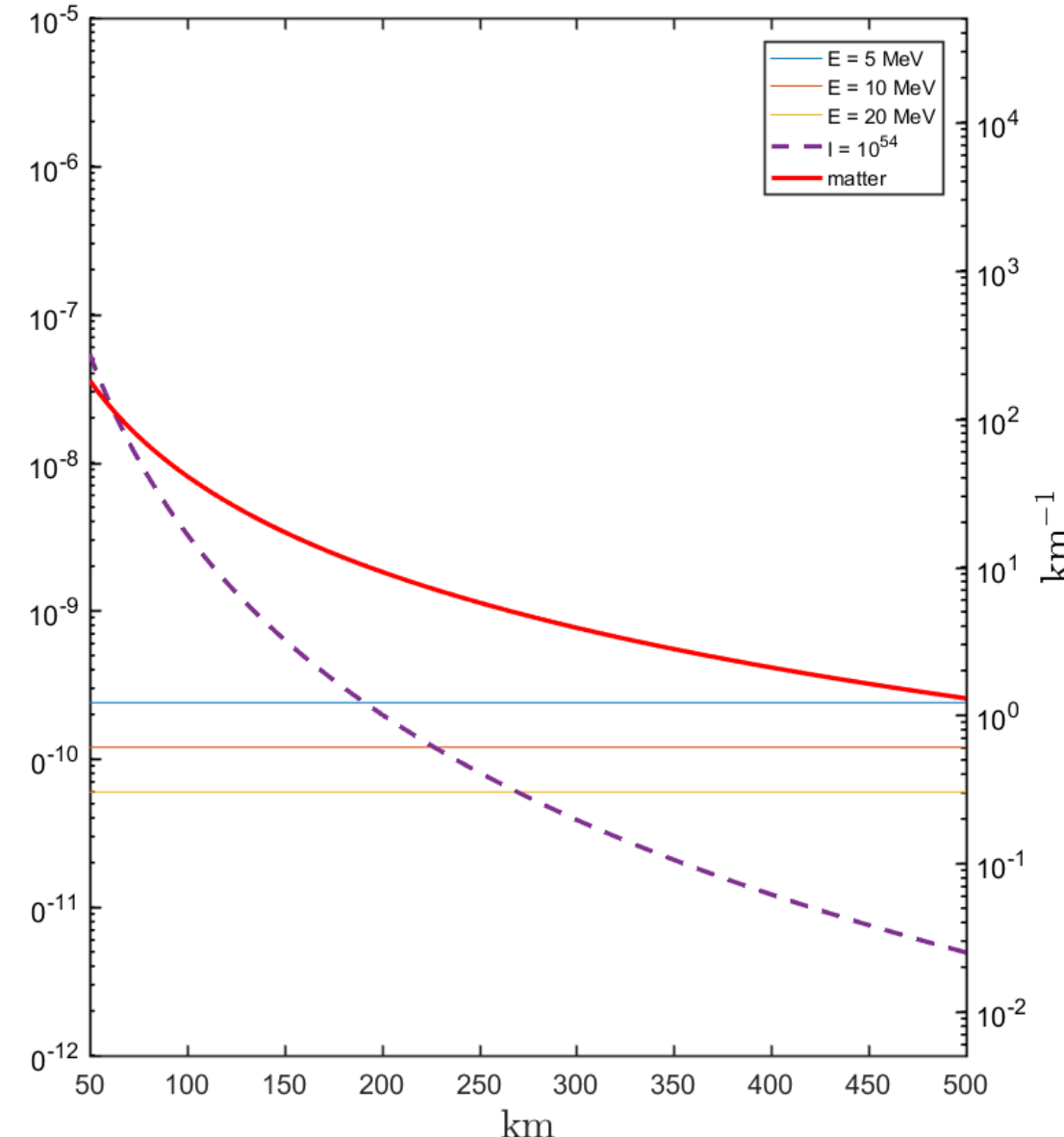
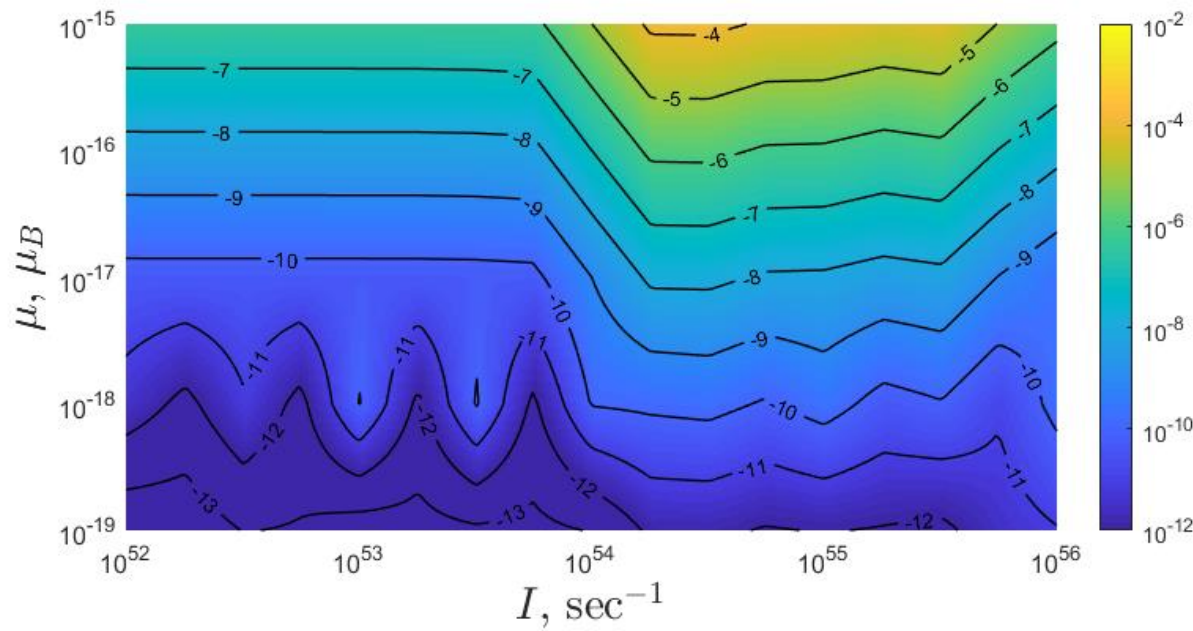
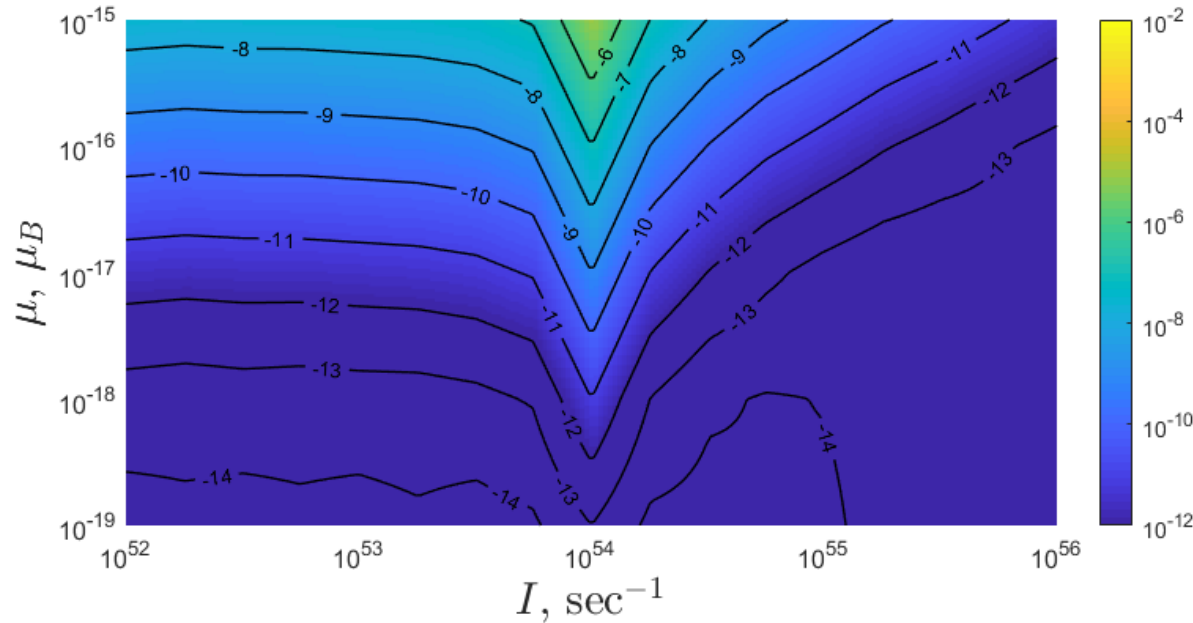
 $\mathbf{r} = 55\text{KM}$ ↘

Обратная иерархия



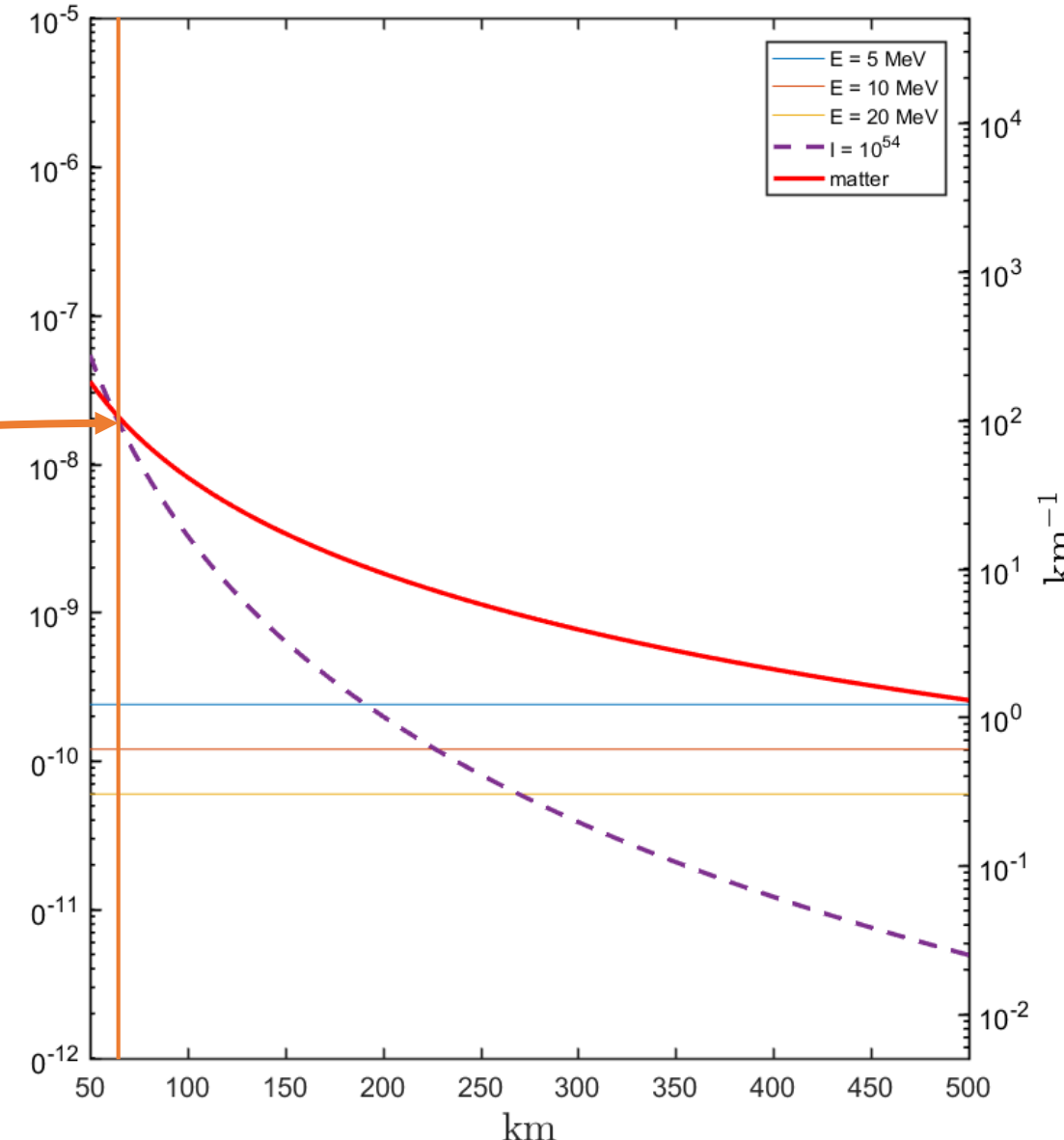
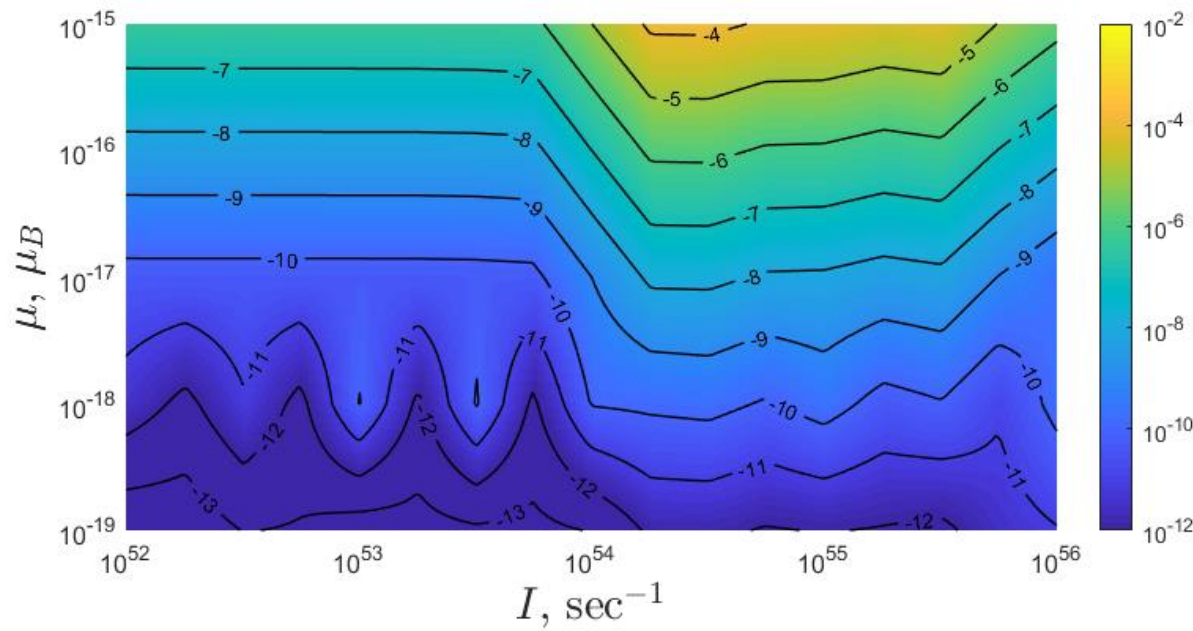
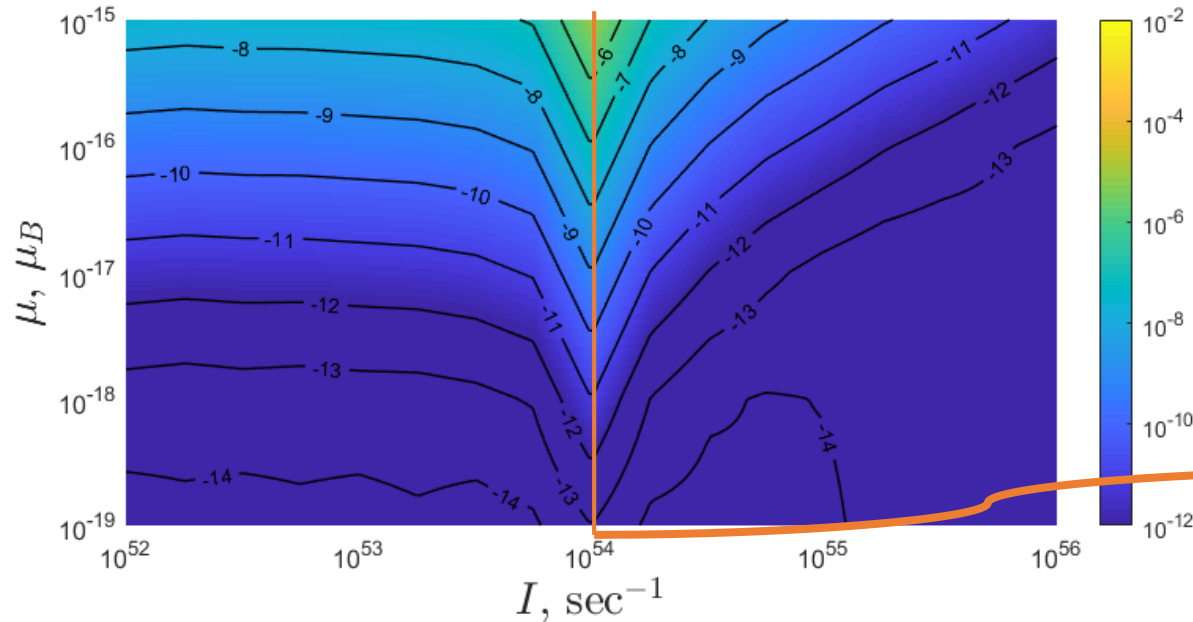
\mathcal{L}_{EW}

Нормальная иерархия

 $\mathbf{r} = 55\text{KM}$ 

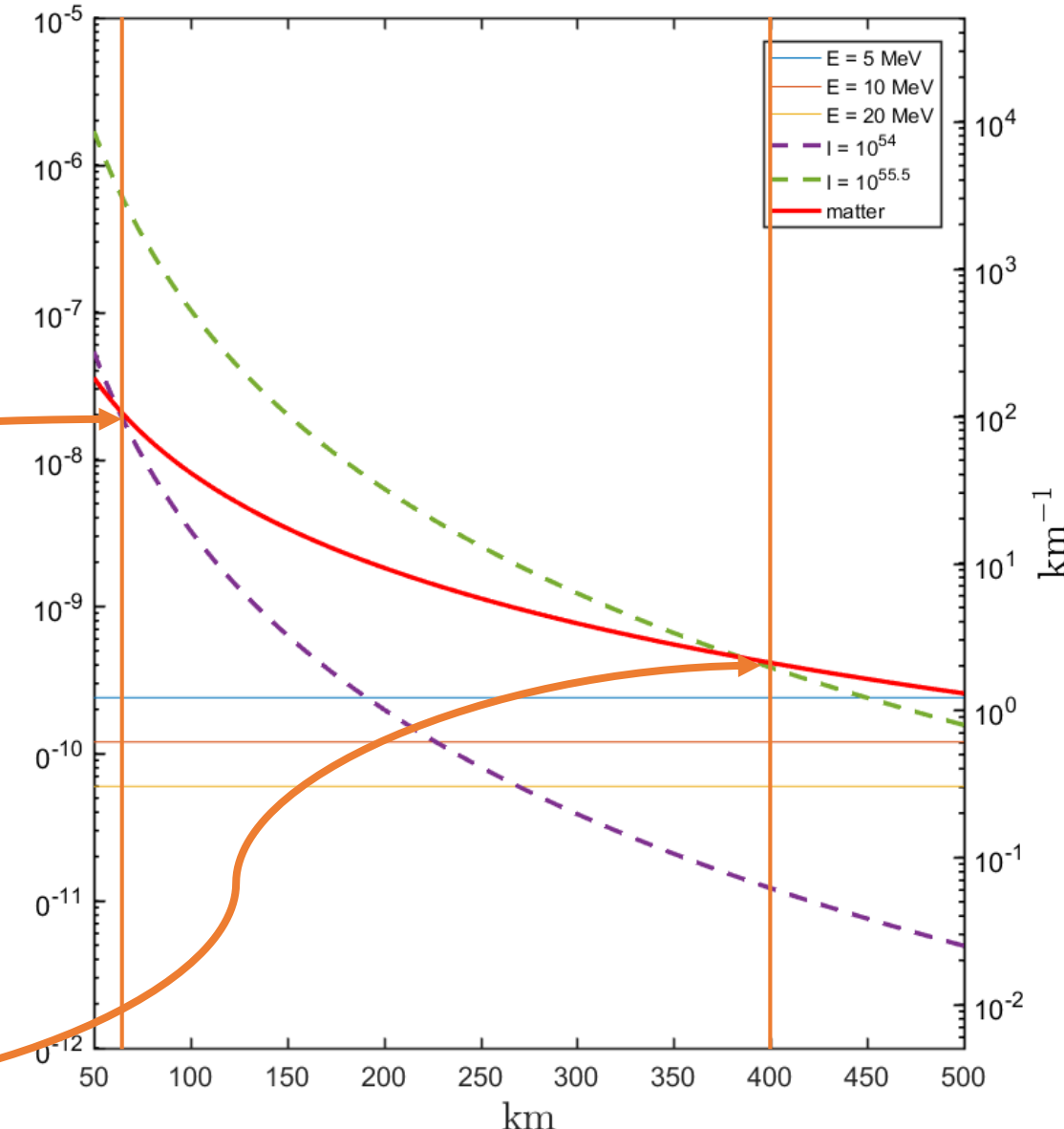
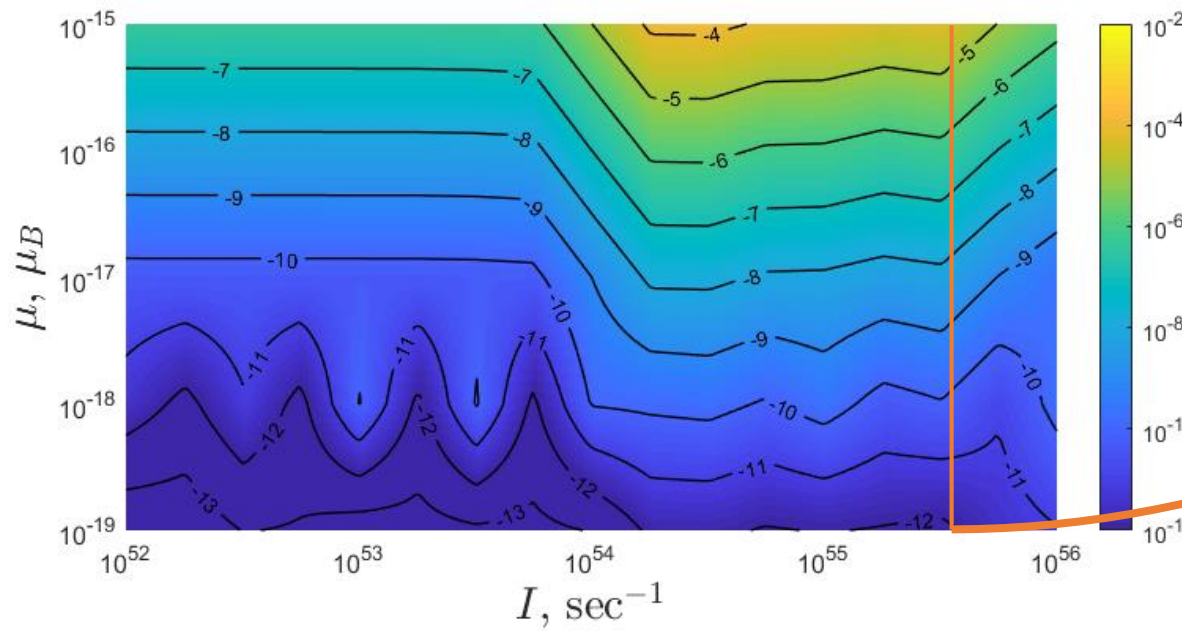
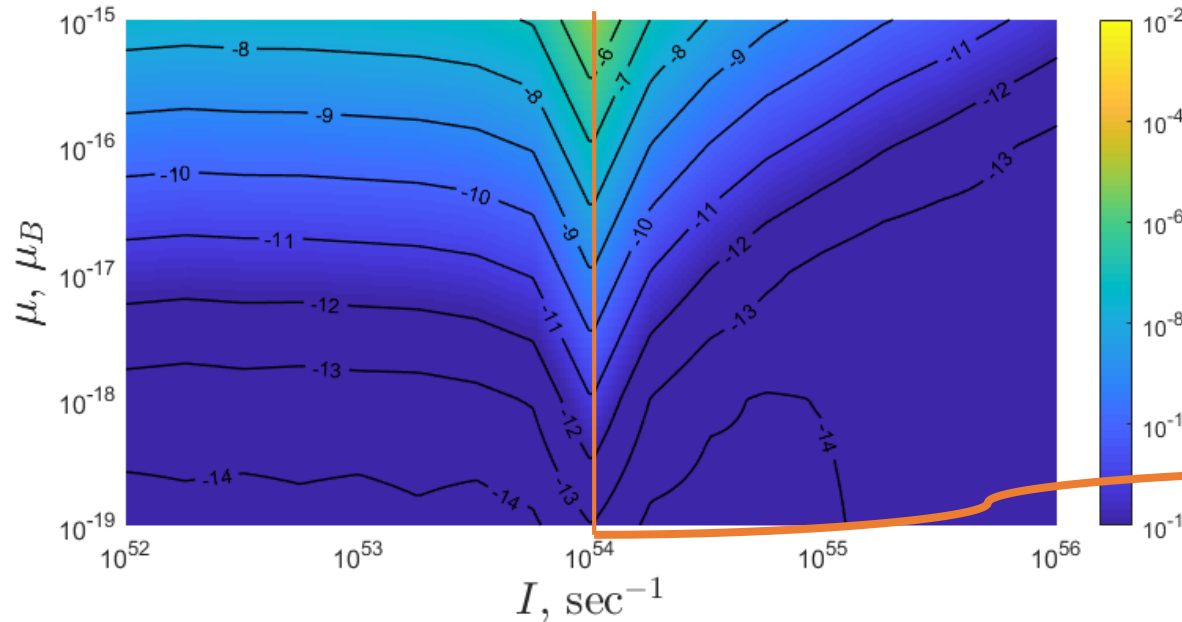
\mathcal{L}_{EW}

Нормальная иерархия

 $\mathbf{r} = 55\text{KM}$ 

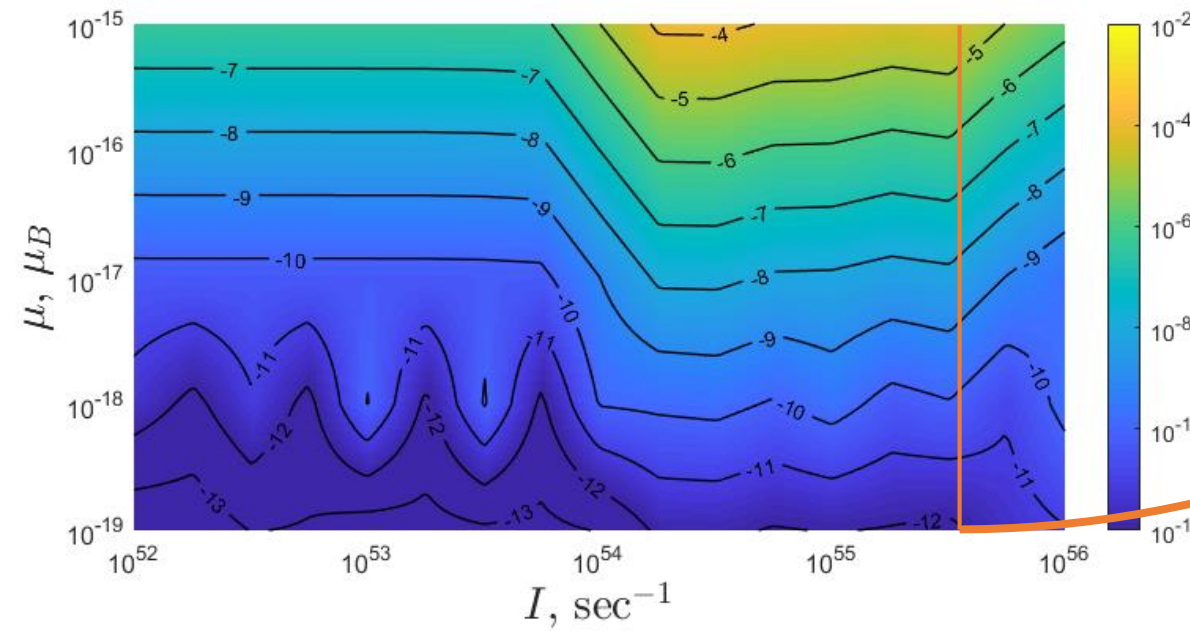
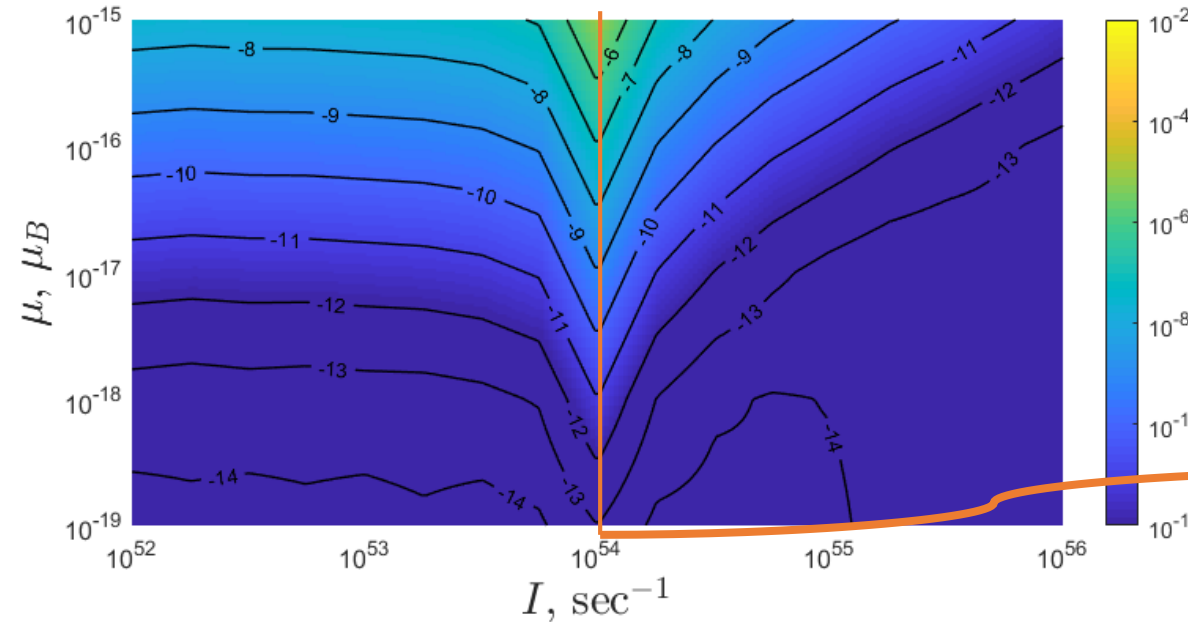
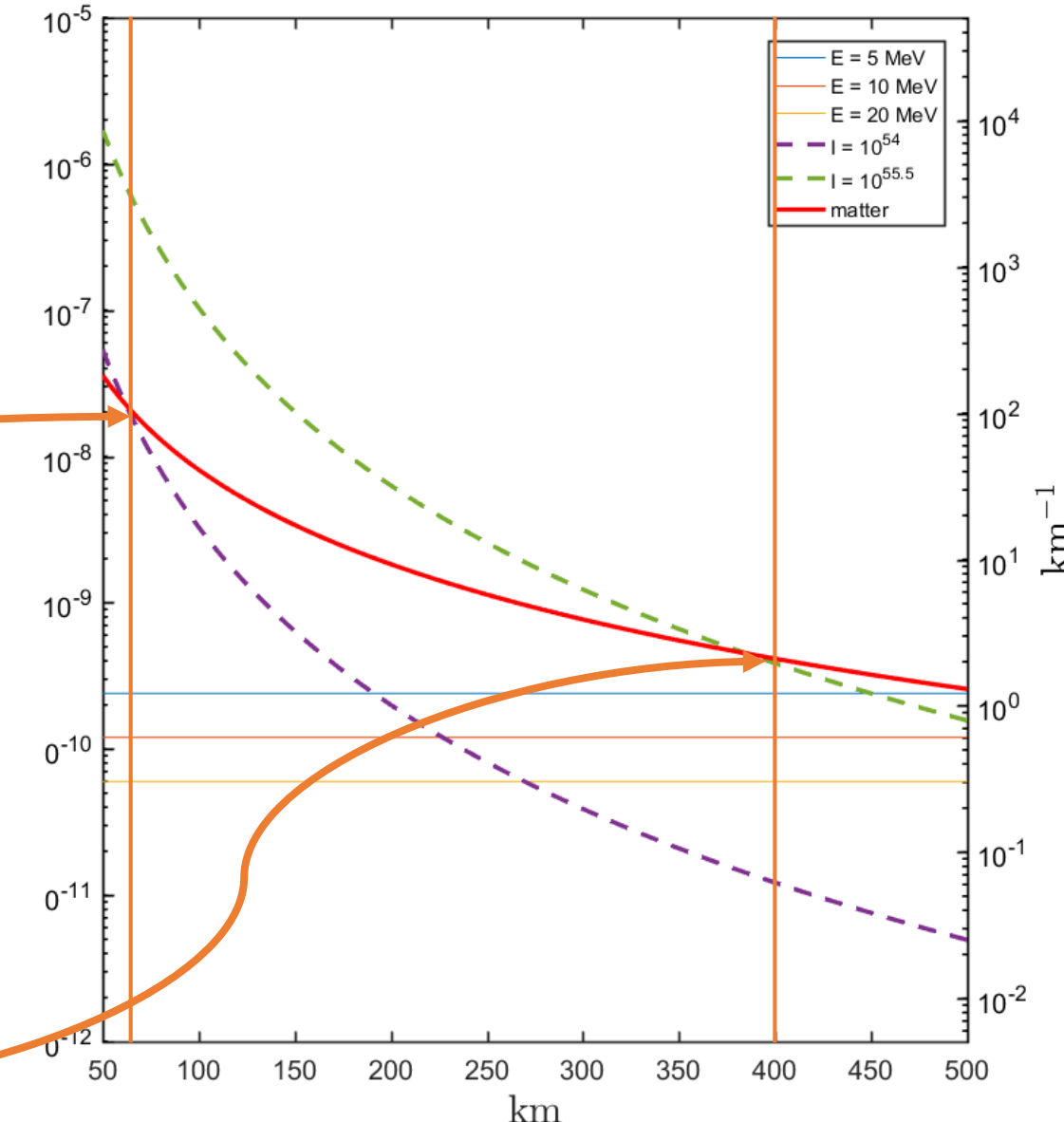
\mathcal{L}_{EW}

Нормальная иерархия

 $\leftarrow r = 55 \text{ KM}$ 

\mathcal{L}_{EW}

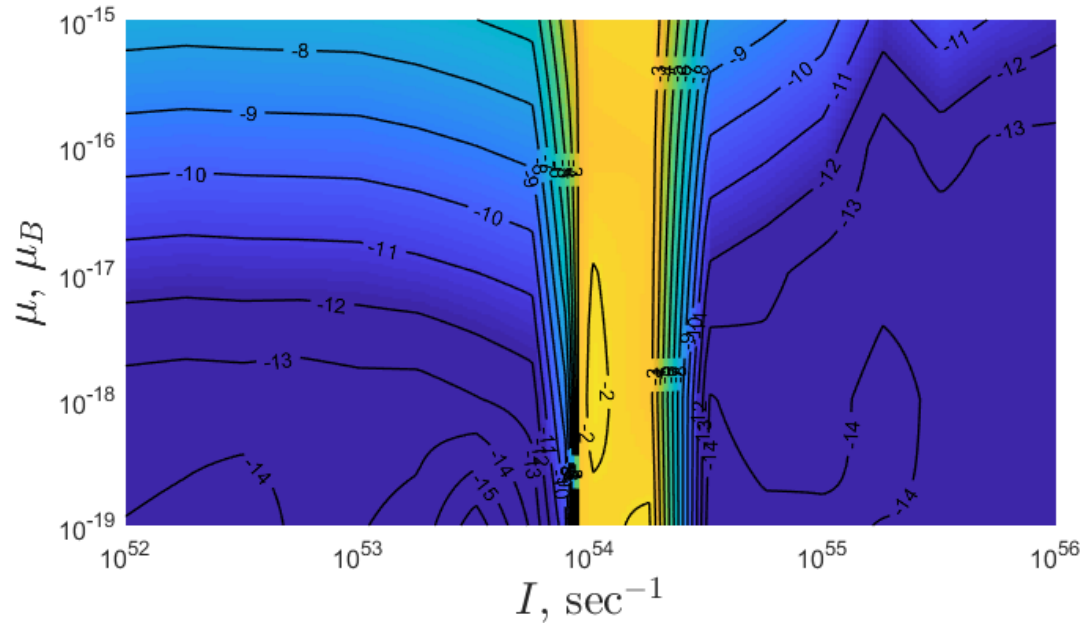
Нормальная иерархия

 $r = 55\text{KM}$ Резонанс при $|H|_{slf} \sim |H|_{mat}$ 

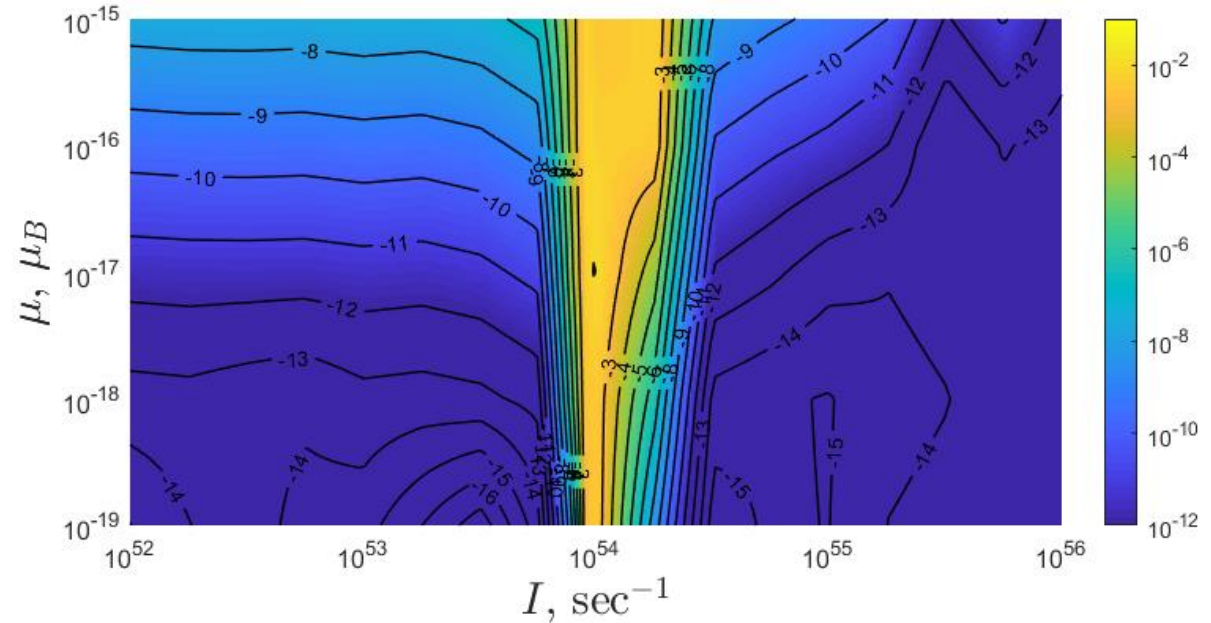
$$\mathcal{L}_{EW} + \mathcal{L}_{SP}$$

Нормальная иерархия

$\Gamma = 55 \text{ KM}$



Обратная иерархия

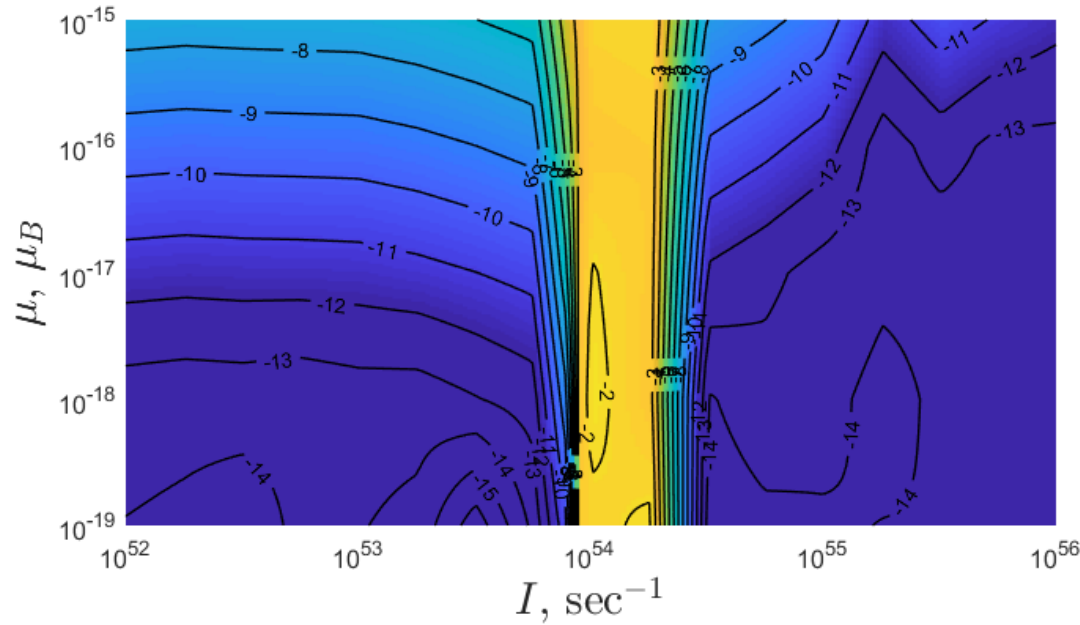


Учет нестандартного взаимодействия $\mathcal{L}_{EW} + \mathcal{L}_{SP}$

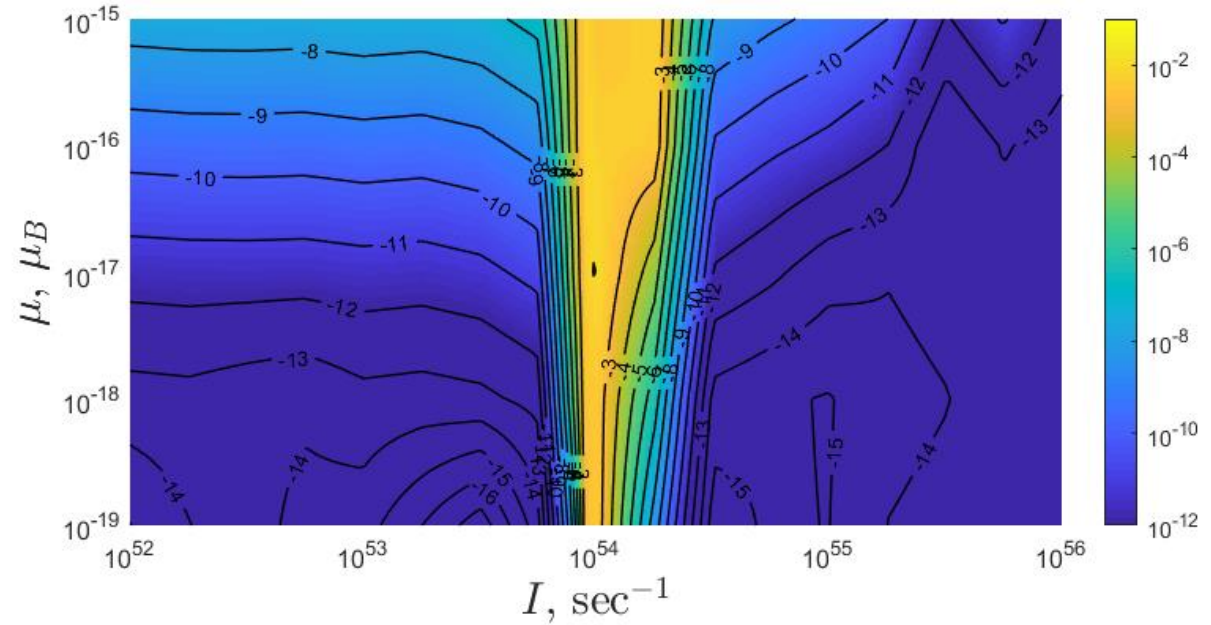
$$\mathcal{L}_{EW} + \mathcal{L}_{SP}$$

Нормальная иерархия

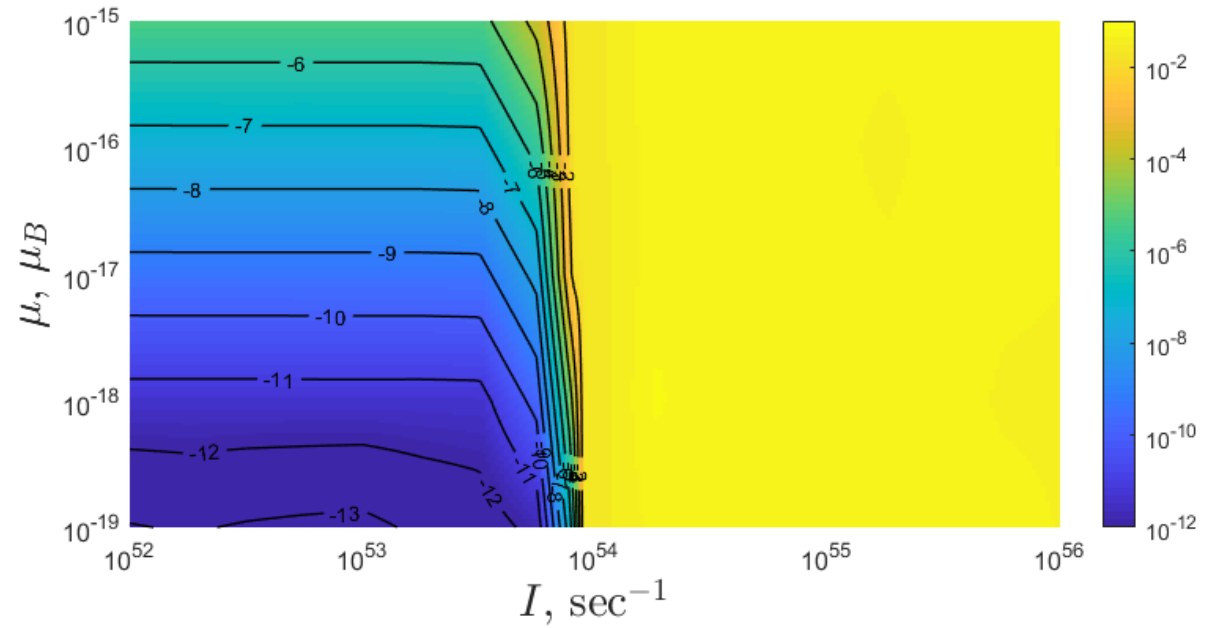
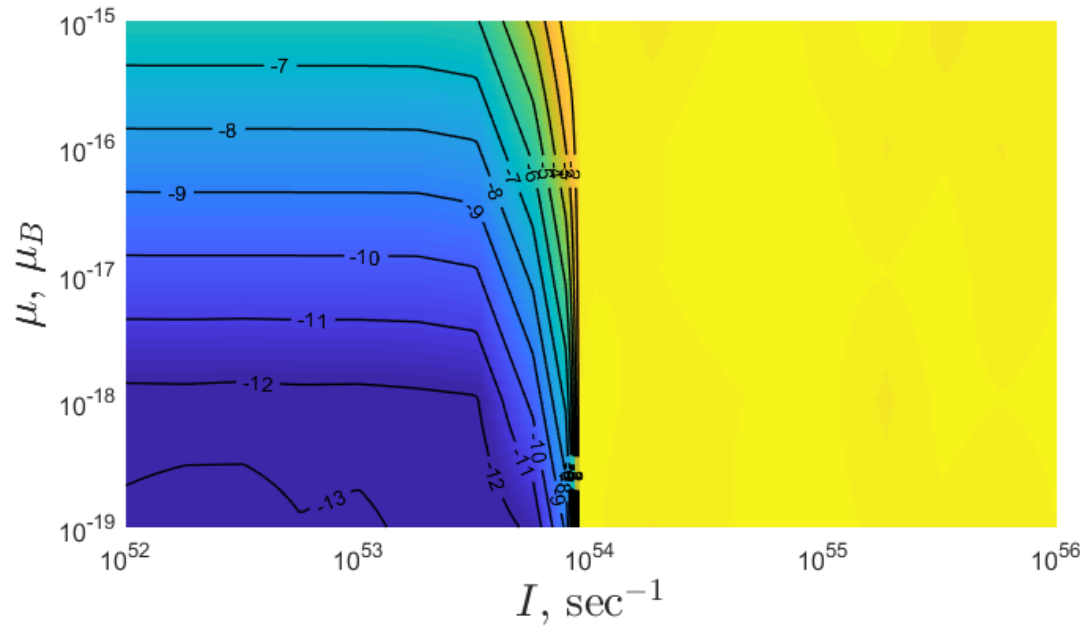
$\mathbf{r} = 55\text{KM}$ 



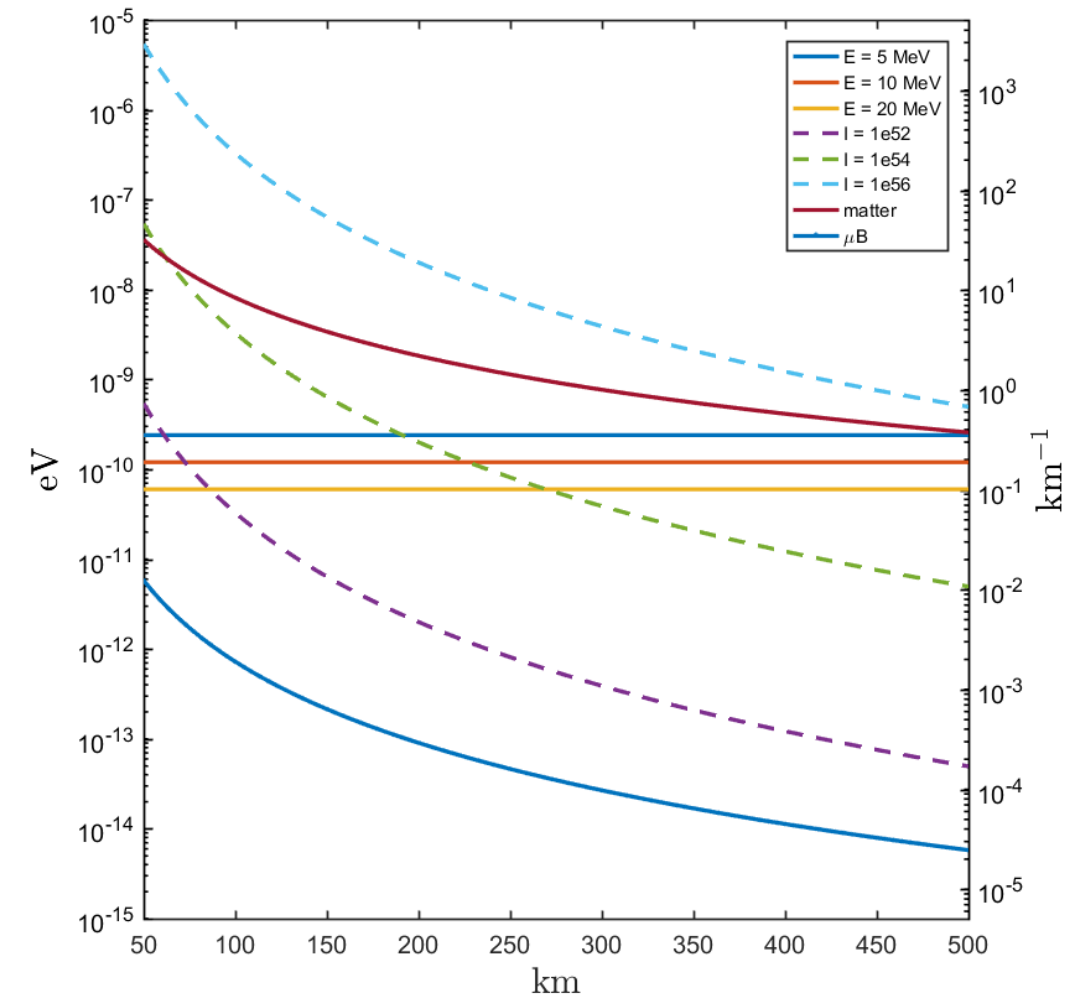
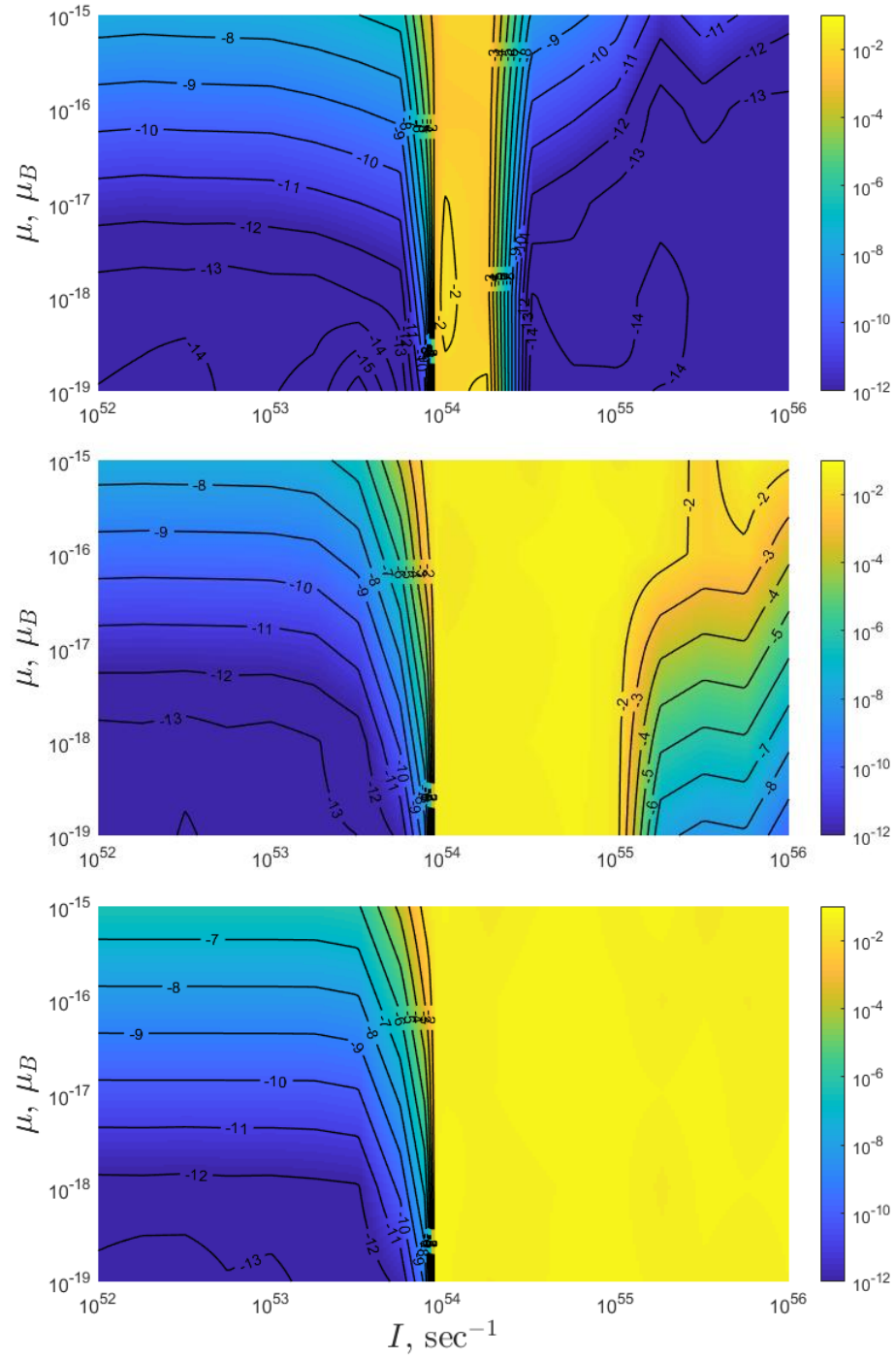
Обратная иерархия



$\mathbf{r} = 400\text{KM}$ 



$\mathbf{r} = 55\text{KM}$ $\mathbf{r} = 150\text{KM}$ $\mathbf{r} = 400\text{KM}$

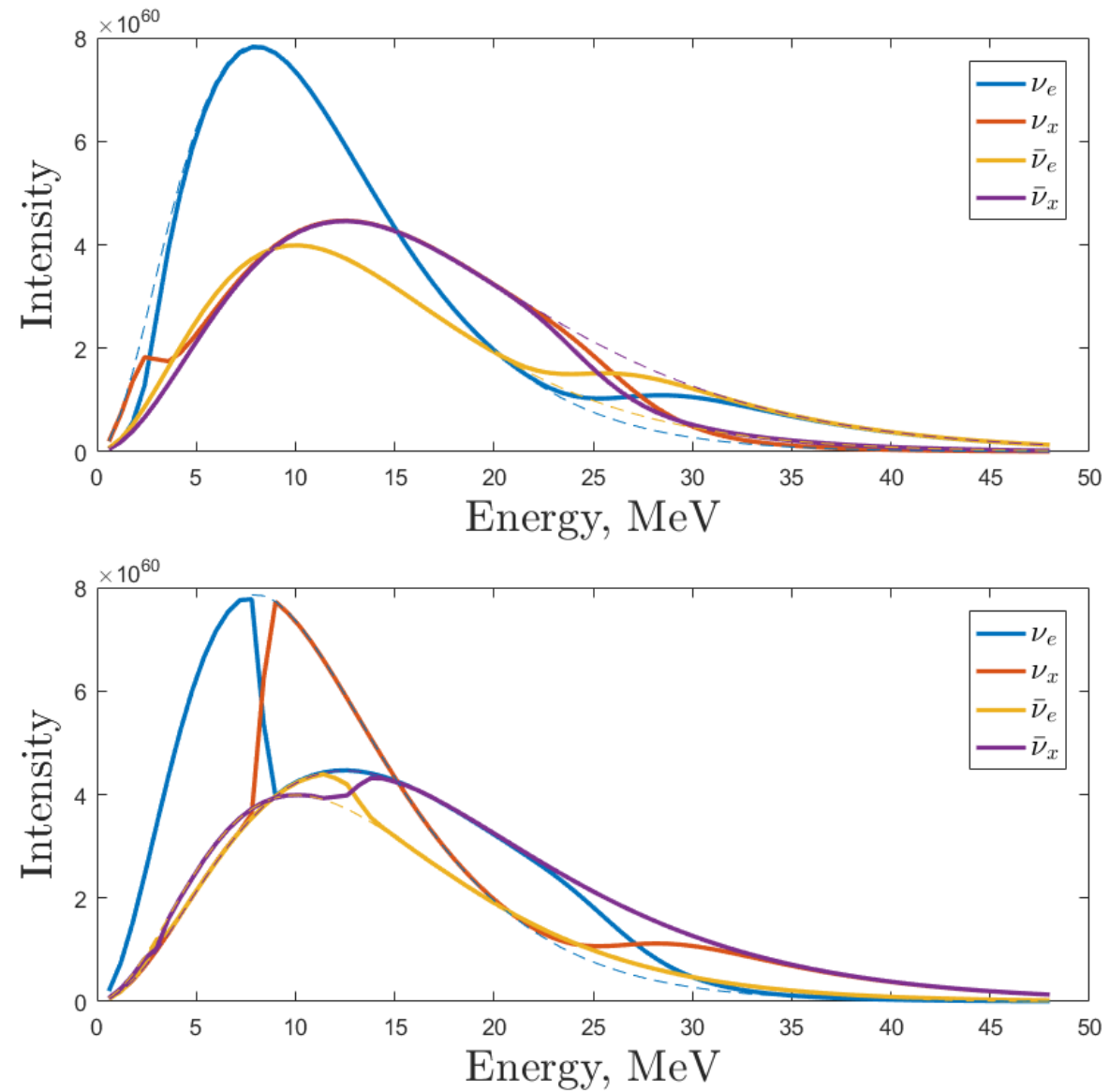
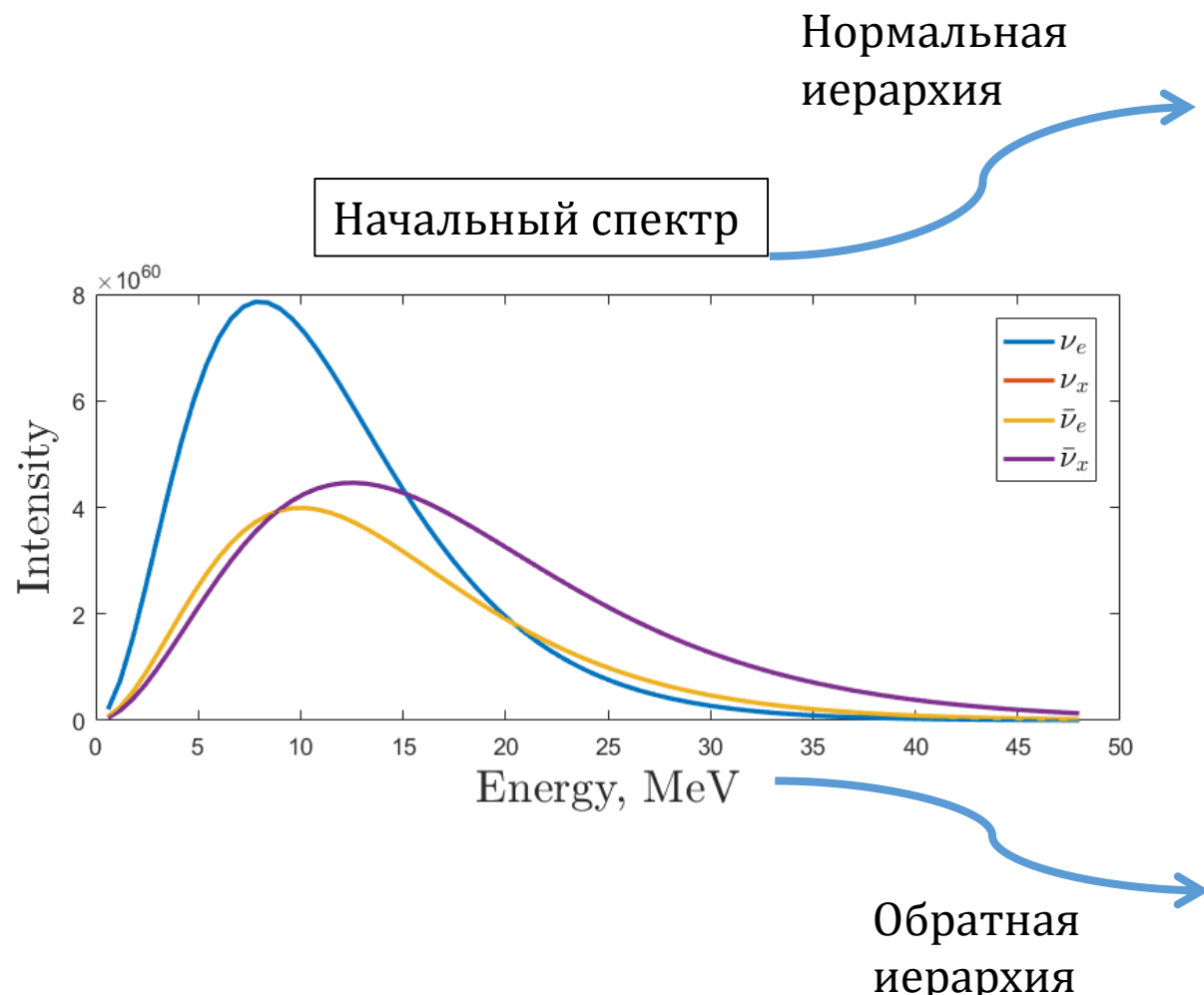


Результаты:

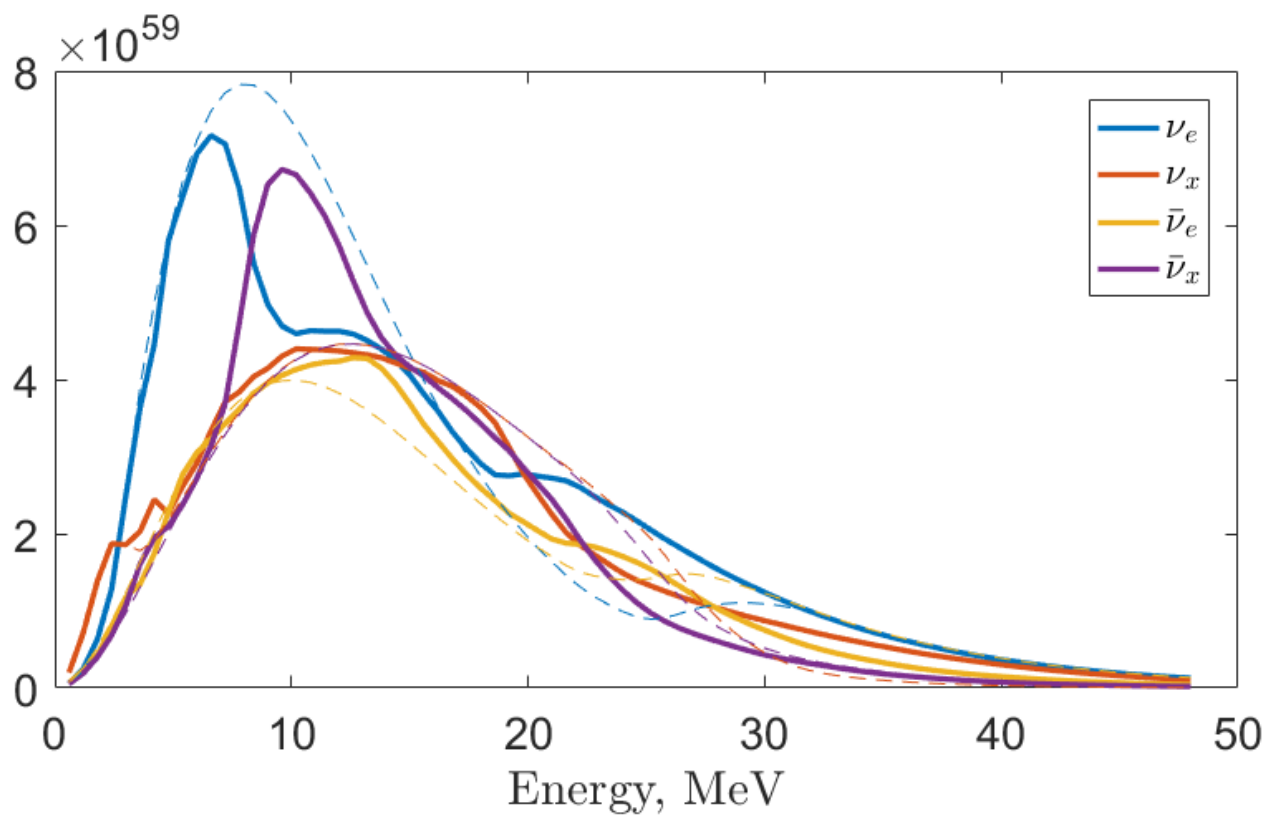
- Получен эффективный гамильтониан $\nu - \nu$ взаимодействия майорановских нейтрино при $\mu \neq 0$ (для электрослабого, скалярного и псевдоскалярного вз-ий)
- Исследована чувствительность спектров нейтрино к наличию $\mu \neq 0$:
 - наличие $\mu \neq 0$ не приводит к наблюдаемым эффектам в рамках СМ
 - однако, присутствует резонансное усиление эффектов $\mu \neq 0$ при $|H|_{slf} \sim |H|_{med}$
 - В случае наличия S-P взаимодействия эффекты $\mu \neq 0$ приводят к наблюдаемым отклонениям даже при $\mu < 10^{-19} \mu_B$

Даже очень малый магнитный момент майорановского нейтрино может позволить на основе нейтринных спектров сверхновой обнаружить наличие нестандартного нейтринного взаимодействия

Пример эволюции спектра нейтрино $\mu = 0$



Нормальная иерархия



Обратная иерархия

